



BIBLIOTEKA POLITECHNIKI
WARSZAWSKIEJ
Nr. Inwent. 675

TEORYA WYTRZYMAŁOŚCI NAWIERZCHNI KOLEJOWEJ

PODŁUG WYKŁADÓW
PROF. K. SKIBIŃSKIEGO.

Lwów 1906.

własność i nakład
„Kółka Inżynierów Tow. Br. Pom.
słuch. Pol. lwowskiej.”

BIBLIOTEKA POLITECHNIKI
WARSZAWSKIEJ
Nr. Inwent. 675

13
31



B.31

Teoretyczne opracowania nawierzchni kolejowej napotyka na mnogie trudności. W pierwszym rzędzie wynika z tego, że mamy do czynienia z drwigarem utwierdzonym na sypkim materiale i wironym, którego własności nie zdano dotychczas materialnie porównać, a jego różnorodność wielka. Następnie niemożliwe jest dokładne określenie sił zewnętrznych, działających na nawierzchnię. Z tych dwóch powodów wyniki teorii nie są w tej mierze zgodne z doświadczeniami, jak w innych konstrukcjach inżynierskich. Nareszcie niemożliwa, trudność sprawia zawziętość teorii, wymagająca znacznego aparatu matematycznego.

Ta teoria, już od dawna się rozwinęła, jednakże dopiero w najnowszych czasach, przy współdziałaniu licznych doświadczeń, doprowadzono do całości, który dozwala radość ucyfrować wymagania praktyki. Stworzono ją przeważnie w Niemczech, a najdzielniejsi pracownicy jak Winkler, Schwedler, Loewe, Limmert, Steiner i inni przyczynili się do jej rozwoju.

Z powodu obszerności tematu nie podobna przedstawić całej teorii w kilku godzinach, na ten cel dla wykładu

poprzedzonych; tutaj w niniejszym wykładzie będą pro-
dane tylko wyniki doprowadzające wprost do praktycz-
nego obliczenia wytrzymałości nawierzchni, z ograni-
czeniem na wskazanie dróg, które doprowadzają do koniecz-
nych wzorów i tych dzieł, które teorię, obserwacje traktują;

Wykład opiera się, szczególnie na następujących pra-
cach. 1. Loewe, dwie rozprawy ogłoszone w „Organ für
die Fortschritte des Eisenbahnwesens z. 1883.” i „Allgem.
Bauzeitung z r. 1888.” [Naw. poprawna].

2. Zimmermann, „die Berechnung des Eisenbahnüber-
baues, Berlin 1888.” [Naw. podt. i teoria tubków].

3. Schwedler, „Beiträge zur Theorie des Eisenbahnüberbaues,”
ogłoszone w Zeitschrift für Bauwesen z r. 1889. [Naw. podtuzna
i poprawna.]

4. Steiner, „Berechnung des eisernen Oberbaues auf nachgie-
biger Unterlage, ogłoszone w Oesterr. Monatschrift für
den öffentl. Baudienst z r. 1895.” [Naw. podtuzna i podkład
poprawny.]

5. Zimmermann, w nowem wydaniu „Handbück der
Ingenieurwissensch. tom II. część druga. Lipsk 1897.” [Naw.
podtuzna i poprawna.]

6. Bräuning, „Veränderungen in der Lage und Form

des Eisenbahngestänges. Berlin 1897. [Dosiwiadzenia]
7. Skibiński, „Beitrag zur Berechnung des Querschwellen-
oberbaues, ogłowne w Zeitschr. des oesterr. Ing. u. Archit.
Vereins v. r. 1899.

W tekście odwołuje się do listów porradkowych, umieszczo-
nych przy powyższych dziełach.

Lwów w styczniu 1899.
przejrane i uzupełnione w r. 1906. --

dy ρ . Tok nawierzchni podłużnej lub podkład poprzeczny, przedstawia dźwigar obciążony górną, ciężarami skupionymi, równorazowymi oddziaływaniem podłoża na dołną powierzchnię dźwigara, wynoszącym p [w kg] na jednostkę kwadratową [1 cm²] tej powierzchni, a $b \cdot p$ na jednostkę długości dźwigara, jeżeli b oznacza szerokość tegoż podłoża. Pod wpływem tych obciążeń zostaną wywołane momenta M siły poprzeczne Q i ugięcia y , o których wzajemnym związku ponura statyka budowli:

1. $\frac{dM}{dx} = Q$; $\frac{d^2M}{dx^2} = \frac{dQ}{dx} = b \cdot p$; następnie:
2. $\epsilon \int \frac{d^2y}{dx^2} = -M$; $\epsilon \int \frac{d^3y}{dx^3} = -\frac{dM}{dx} = -Q$ zaś
3. $\epsilon \int \frac{d^4y}{dx^4} = -\frac{d^2M}{dx^2} = -b \cdot p$.

Miary natężeniem przekroju σ a momentem ugięcia y dowolnym punkcie dźwigara zachodzi znany związek:

$$4. \dots \sigma = \frac{M \epsilon}{y}.$$

Ten wzór może być zastosowany do nawierzchni i podłużnej litej t.j. gdy szyna i podkład podłużny stanowią jednolity dźwigar, i do podkładu poprzecznego.

W powierzchni dwudzielnej składa się drzewiar z dwóch części, - szyny i podkładu, o różnych momentach bezwładności J_1 i J_2 . Jeżeli materiały obu części są różne [n.p. stal i żelazo zlewne lub drewno] natomiast współczynniki sprężystości podłużnej ϵ_1 i ϵ_2 są również różne, a wtedy wyraz ϵJ w 2. i 3. wzorze otrzymana dla złożonego drzewiara formę $\epsilon J = \epsilon_1 J_1 + \epsilon_2 J_2$.

Wprawdzie gdy $\epsilon_1 = \epsilon_2$ jest $\epsilon J = \epsilon [J_1 + J_2]$, czyli $J = J_1 + J_2$; to znaczy, że momenta bezwładności obu części drzewiara się sumują. Moment zgięcia M rozkłada się w tym przypadku na obie części podług pewnego prawodawstwa. Z warunku wspólnego ugięcia szyny i podkładu, są krzywizny linii ugięcia jednakowe. Jeżeli krzywiznę dla szyny wyrazimy przez $\frac{d^2 y_1}{dx_1^2}$, dla podkładu przez $\frac{d^2 y_2}{dx_2^2}$, to podług wzoru 2 $\frac{d^2 y_1}{dx_1^2} = \frac{M_1}{\epsilon_1 J_1}$; zaś $\frac{d^2 y_2}{dx_2^2} = -\frac{M_2}{\epsilon_2 J_2}$. Stąd wynika że $\frac{M_1}{\epsilon_1 J_1} = \frac{M_2}{\epsilon_2 J_2}$. Jest to jedno równanie dla wyznaczenia M_1 i M_2 .

Drugie równanie daje warunek, że $M_1 + M_2 = M$. Z tych dwóch równań wynika równanie 5.

5. $M_1 = \frac{\epsilon_1 J_1}{\epsilon J} \cdot M$; $M_2 = \frac{\epsilon_2 J_2}{\epsilon J} \cdot M$, a następnie

6. $\sigma_1 = \frac{M_1 e_1}{J_1} = \frac{\epsilon_1 e_1}{\epsilon J} \cdot M$; $\sigma_2 = \frac{M_2 e_2}{J_2} = \frac{\epsilon_2 e_2}{\epsilon J} \cdot M$.

Gdy $\epsilon_1 = \epsilon_2 = \epsilon$ to:

$$G_1 \dots \dots \dots G_1 = \frac{L_1}{J} \cdot M; \quad G_2 = \frac{L_2}{J} \cdot M.$$

Zadaniem wytrzymałości nawierzchni jest wyznaczenie momentów i ugięć y , w celu obliczenia wartości G i ciśnienia na zwrót p . [ob. wzory 7 i 8.]

§. 1. Pojęcia wstępne.

Pomyślmy sobie pręt nieposiadający wagi, pływający na powierzchni płynu i obciążony ciężarami P , to pod wpływem obciążenia [rys. 1.] zsunie się on o tyle, aż reakcje wywołane w płynie zrównoważą to obciążenie. Pod wpływem tych sił i reakcji κ niejednostajnie na jednostkę długości podstawy pręta portionowych, pręt się odkształci

Rys. 1.



r - b. p.

podług linii falistej.

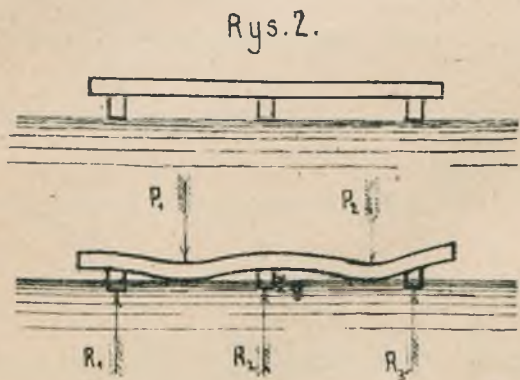
Jeżeli oznaczymy literą b statą, dołną szerokość pręta zaś literą p ciśnienie wody na jednostkę powierzchni podstawy, to oczywiście $\kappa = b \cdot p$, zaś w każdym punkcie pręta jest ciśnienie p proporcjonalne do zagłębienia y ;

otrzymamy więc dla nawierzchni podług zasady zwiarek:

$$? \dots \dots \dots p = c \cdot y.$$

Jeżeli pręt nie spoczywa bezpośrednio na powierzchni płyty, lecz za pośrednictwem równie nierównych prętów poprzecznych [Rys. 2] to pręt podobnie jak przedtem falisto się odkształca. Pręty poprzeczne nierównomiernie zsuną się, a wielkość tego zsunienia będzie równie proporcjonalna do ciśnienia wody R , wywartego na podłożu pręta poprzecznego, a zatem dla powierzchni poprzecznej:

8. $R = D \cdot y$; lub też $R = \frac{y}{r}$ i $y = R \cdot r$



Płóść C zawieszona od podłożu płyty, zaś D ma do od wymiaru powierzchni podstawy prętów na płycie spoczywających. W rzeczywistości nie mamy do czynienia z płytą, lecz z materiałem sypkim i wirówki.

Dla takiego materiału nie dadzą się powyższe dla płyty wypracowane prawidła bez zastawienia zastawiać. Między innymi proporcjonalność między ciśnieniem jednostkowym podłoża a wgłębieniem [średnia wgłębienia] y istnieje tylko dla bardzo małych wartości y , dla których wgłębienie y i wirówki ^{jest} sprężyste t.j. takie, które po odjęciu obciążenia zniknie. W przypuszczeniu więc, że tylko tak małych wgłębien i dozna powierzchni, możemy prawidła powyższe zastawiać dla podłużnej i poprzecznej powierzchni kolejnej.

Przypatrujemy się, teraz, jakie znaczenie mają, ilości C i D .
Podstawmy $y=1$, a jako jednostkę wgłębienia obieramy 1cm ,
to otrzymamy $R_1=C$ a względnie $R_2=D$. To znaczy, że C
jest to takie ciśnienie na jednostkę powierzchni iwiru
[$\text{kg na } 1\text{cm}^2$], które odpowiada wgłębieniu powierzchni
podłoża o 1cm . zaś D jest to takie ciśnienie podłoża
na iwir, które powoduje wgłębienie podłoża poprzeczne-
go o 1cm .

Zależnie od jakości iwiru trzeba będzie większych lub
mniejszych ciśnień C lub D , aby uzyskać wgłębienie o 1cm .

Wspomnieliśmy już, że ilość C zależy jest li tylko od ja-
kości podłoża, dlatego otrzymata nazwę: Wzmacnie podłoża
[Bettungsgriffer]. Jest ono tem większe, im silniejsza budowa
podłoża i im lepszy materiał do niego użyty i im
silniejszy grunt pod podłożem.

Wartość wzmacnienia przyjmuje się, w granicach 3-8,
jednakże na podłożu skalistym może dojść do 30. Te liczby
okazują wielką niepewność co do wyboru wielkości wzmacnienia,
które ma być do rachunku wprowadzone; jednak, że ta nie-
pewność tylko nieznacznie wpływa na końcowe wyniki obra-
chowania wytrzymałości powierzchni. Obliczenia wy-
trzymałości powierzchni przeprowadza się zwykle dla warto-
ści 3 i 8.

Nawierchnia podłużna pod działaniem sił pionowych.

§.2. Podstawowe równania nawierchni podłużnej.

Oznaczmy literą b szerokość podłoża, którą nawierchnia opoczywa na podłożu, zaś literą p , ciśnienie na jednostkę powierzchni podłoża, to wzór 3. po wstawieniu za p wartości z wzoru 7. przejdzie w następujący:

$$\frac{d^4 y}{dx^4} = -\frac{bC}{EJ} \cdot y$$

Wprowadzimy w dalszym ciągu $K = \sqrt[4]{\frac{Cb}{EJ}}$, to:

9. $\frac{Cb}{EJ} = 4K^4$

Nie trudno zauważyć że Cb i E mają ten sam wymiar, zatem K i $\sqrt[4]{\frac{1}{J}}$ mają również ten sam wymiar, czyli że:

K jest odwrotnością długości.

To powyższe równanie przejdzie w następujące:

10. $\frac{d^4 y}{dx^4} = -4K^4 y$

Jest to podstawowe równanie różniczkowe dla nawierchni podłużnej.

Pierwszy Winkler podał rozwiązanie tego równania w tej formie:

$$y = A \cdot e^{Kx} \cdot e^{iKx} + B \cdot e^{Kx} \cdot e^{-iKx} + C \cdot e^{-Kx} \cdot e^{-iKx} + D \cdot e^{-Kx} \cdot e^{iKx}$$

w którym $e = 2.71828$ jest rasada, natural. logarytmów,
zaś $i = \sqrt{-1}$.

Gdy się uwzględni że

$$e^{iHx} = \cos Hx + i \sin Hx$$

$$e^{-iHx} = \cos Hx - i \sin Hx$$

i gdy się wprowadzi:

11. $Hx = \xi$ [odpowiednio do znaczenia ilości H
 ξ jest stosunkiem długości], to powyższe równanie przejdzie
w następujące:

$$y = [A+B]e^{\xi} \cos \xi + [C+D]e^{-\xi} \cos \xi + \\ + [A-B]e^{\xi} i \sin \xi - [C-D]e^{-\xi} i \sin \xi.$$

czyli ogólnie:

12a. $y = F[A, B, C, D, \xi] = \frac{y}{c}$ [podług wzoru 7]

a pochodna tej funkcji względem x jest:

$$\frac{dy}{dx} = F', \text{ lecz gdy podług 11. } d\xi = H \cdot dx, \text{ to}$$

$$\frac{dy}{dx} = H \cdot \frac{dy}{d\xi} = HF' \text{ i.t.d.}$$

12b. $\frac{dy}{dx} = HF'[A, B, C, D, \xi] = \text{tang } \gamma$

12c. $\frac{d^2y}{dx^2} = H^2 F''[A, B, C, D, \xi] = -\frac{M}{\epsilon J}$ [podług wz. 2]

12d. $\frac{d^3y}{dx^3} = H^3 F'''[A, B, C, D, \xi] = -\frac{Q}{\epsilon J}$ [podług wz. 2]

12e. $\frac{d^4y}{dx^4} = H^4 F^{IV}[A, B, C, D, \xi] = -\frac{b \cdot J \nu}{\epsilon J} = -4H^4 y$ [podług wz. 10]

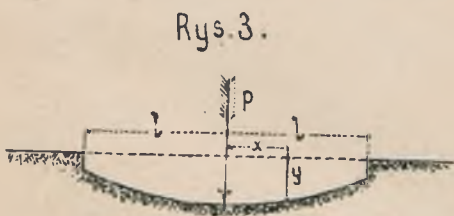
Równanie e jest identyczne z równaniem a ponieważ
 $F^{IV}[A, B, C, D, \xi] = -4F[A, B, C, D, \xi].$

Porozbijaj, zatem cztery równania od a do d .

Dla każdego danego przypadku nawierzchni znajdźmy cztery warunki, które nam te równania określają, a wtedy z tych równań wyznaczymy niewiadome statyczne ilości A, B, C, D , przeto równanie linii ugięcia będzie określone. Przez ich wyznaczenie będzie umożliwione obrachowanie ilości M, Q, y , potrzebnych do wyznaczenia natężenia nawierzchni.

§.3. Pręt o długości ograniczonej, obciążony w środku ciężarem P .

Jako przykład ustalenia warunków dla równań zasadniczych, obieramy przypadek na rys. 3. przedstawiony.



Dla $x=0$ [środek] jest $\xi=0$ a $\frac{dy}{dx} = \operatorname{tg} \varphi = 0$; dla $x=l$ [$\xi=ll$] jest $M=0$ i $Q=0$; nareszcie dla $x=0$ jest $Q = -\frac{P}{2}$ to znaczy, że:

$$\mathcal{H}F''[A, B, C, D, \xi=0] = 0$$

$$\mathcal{H}^2F'''[A, B, C, D, \xi=ll] = 0.$$

$$\mathcal{H}^3F''''[A, B, C, D, \xi=ll] = 0$$

$$\mathcal{H}^3F''''[A, B, C, D, \xi=0] = \frac{P}{2EI}.$$

Te cztery równania pozwolą do wyznaczenia czterech niewiadomych statycznych.

§.4. Pręt nieskończenie długi obciążony jednym ciężarem P

O wiele ważniejszym dla nas jest przypadek pręta nieskończenie długiego, gdyż z powodu silnych potąceń na stykach ryju i podkładów podtrzymujących, możemy tak niewierchmi podtrzymuj' uwaiać jako pręt nieskończenie długi. Na razie rozważmy obciążenie jednym ciężarem P.

Przyjawszy w punkcie obciążenia początek układu współrzędnych, to przypadek ten różni się od poprzedniego [§.3.] tylko tem, że $l = \infty$, zatem w 2 i 3. równaniu wstawimy:

$$\xi = Hl = \infty$$

W ten sposób otrzymaliśmy znów cztery równania, z których niewiadome stałe wyznaczyć się.

Wyrachowania nie podajemy [znajduje się w §.4. druku oznaczonego na wstępie hierba 2], przytoczymy tylko ostatnie wyniki:

$$y = \frac{HP}{2Cb} \cdot \eta ; \quad \frac{dy}{dx} = \frac{H^2 P}{Cb} \cdot \eta'$$

$$\frac{d^2 y}{dx^2} = -\frac{H^3 P}{Cb} \cdot \mu ; \quad \frac{d^3 y}{dx^3} = -\frac{2H^4 P}{Cb} \cdot \mu'$$

albo też, gdy się uwzględni wzór 12 i 7.:

$$13. \dots \left\{ \begin{array}{l} y = \frac{HP}{2Cb} \cdot \eta ; \quad \text{tg } \varphi = \frac{H^2 P}{Cb} \cdot \eta' \\ M = \frac{P}{4H} \cdot \mu ; \quad Q = \frac{P}{2} \cdot \mu' \\ n = C \cdot y. \end{array} \right. \text{nareszcie}$$

W tych wzorach oznacza:

$$14 \dots \left\{ \begin{array}{l} \eta = e^{-\xi} [\cos \xi + \sin \xi]; \quad \eta' = -e^{-\xi} \sin \xi \\ \mu = e^{-\xi} [\cos \xi - \sin \xi]; \quad \mu' = -e^{-\xi} \cos \xi \end{array} \right\} \text{gd}y \xi = Hx$$

Dla różnych wartości ξ są ilości wzoru 14. obrachowane w tabeli II a. dricta Kummermana [Dricta nr. 2 w tabeli jest φ zamiast ξ wprowadzone]

Ilości η i μ są przedstawione na Catawronij tablicy I. W celu jej użycia obrachuje się H [wzór 9] potem dla dowolnej wartości x wyrachuje się $\xi = Hx$, a dla tej wartości ξ odczyta się na tablicy odpowiednie η lub μ , potrzebne do wyznaczenia

γ i M podług wz. 13.

Na tej tablicy jest oprócz ξ wprowadzona wartość:

$$15 \dots L = \frac{1}{H} - \sqrt{\frac{4EJ}{c\delta}} \quad [\text{ze wzoru 9}]$$

Odpowiednio do znaczenia ilości H jest L długością, podług której $x = \frac{\xi}{H} = \xi L$, jest oznaczone na dolnej linii.

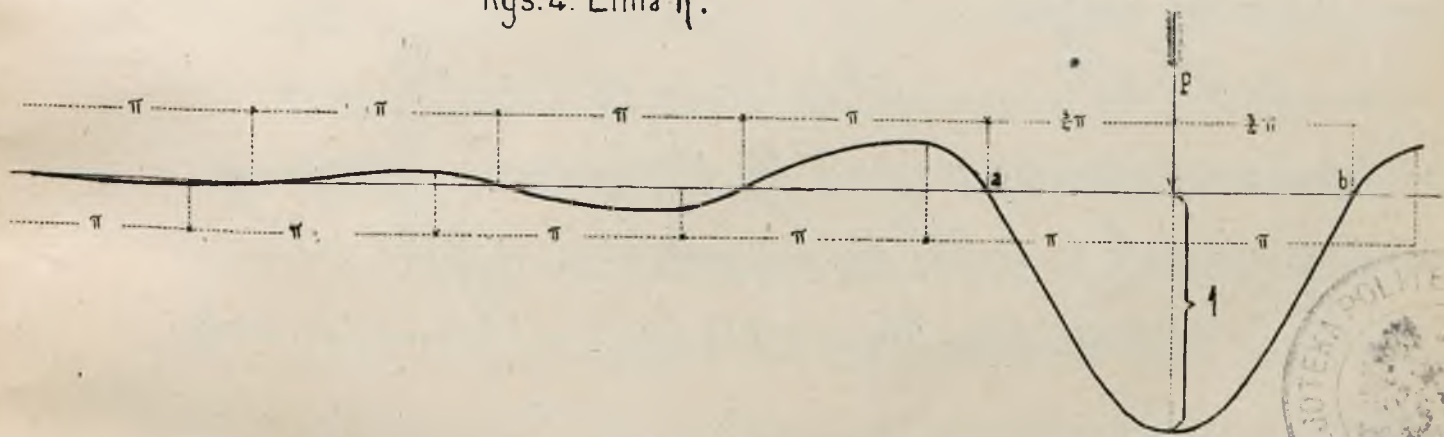
Przebieg linii η i μ przedstawionych na tablicy I [jak również im odpowiadających linii γ i M] jest fałszywy; podobny przebieg mają linie η' i μ' [zob. tg φ i δ]. Oznaczają one drictanie jednego cięciwa na nieskończenie

duży pręt, są jednakże zerarem liniami wprytworzeni dla dowolnego punktu pręta, jeżeli niech P cały pręt przebiega.

Przypatrujemy się bliżej przebiegowi tych linii na rys 4 i 5. Powrót układu współrzędnych obieramy w punkcie drania siły P . Skrajne punkta linii η [rys 4] otrzymamy z wzoru 13 i 14. Tak $y = \eta = 0$ będzie, gdy $\cos \xi = -\sin \xi$, co nastąpi dla $\xi = \frac{3}{4}\pi, \frac{7}{4}\pi, \frac{11}{4}\pi, \dots$

zatem od pierwszego są wszystkie punkta zerowe równo odległe o długość $\xi = \pi$. Ta odległość punktów zerowych jest długością fali, której rzeczywista wartość jest $l = \frac{\pi}{k} = \pi L$

Rys. 4. Linia η .

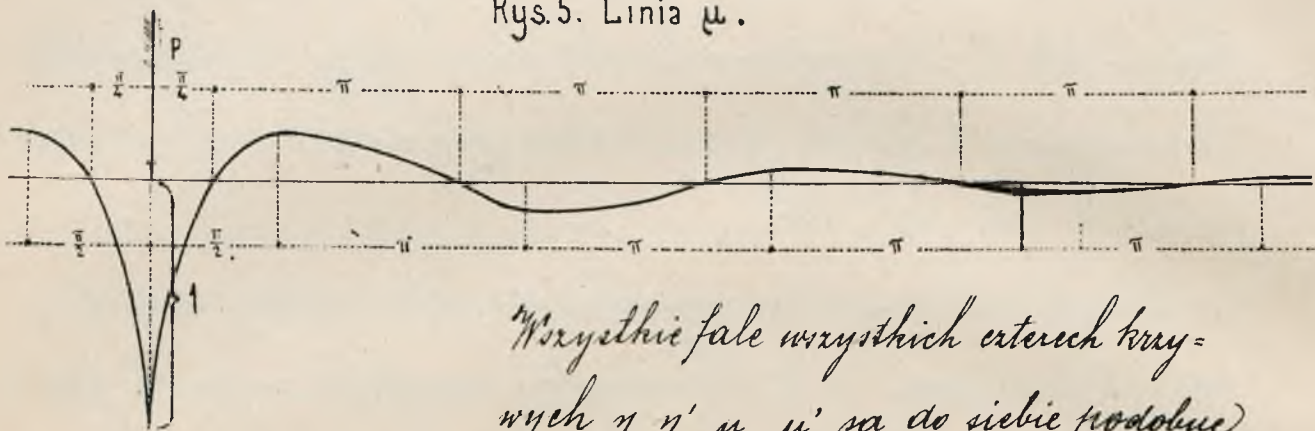


$\frac{dy}{dx} = 0$ nastąpi dla $\eta' = 0$ t.j. dla $\sin \xi = 0$ czyli, gdy $\xi = 0, \pi, 2\pi, \dots$. Tym punktom odpowiadają, maxima i minima rzędnych η , jak widzimy postępują one również w odstępach, równych długości fali.

$\frac{d^2y}{dx^2} = 0$ nastąpi dla $\mu = 0$ t.j. gdy $\cos \xi = \sin \xi$, czyli dla $\xi = \frac{\pi}{4}, \frac{5\pi}{4}, \frac{9\pi}{4}, \dots$ [ob. rys 5]. Wic zerowe punkta krzywej μ

[i krzywej M], postępują także w odległości π , równej długości fali. Maksymie maxima i minima tej krzywej, znajdują się w punktach, dla których $\frac{d^2y}{dx^2} = \mu = 0$ [zerowe punkta krzywej μ' i krzywej Q] t.j. dla $\cos \xi = 0$ czyli dla $\xi = \frac{\pi}{2}, \frac{3\pi}{2}, \frac{5\pi}{2}, \dots$

Rys. 5. Linia μ .



Wszystkie fale wszystkich części krzywych η, η', μ, μ' ; są do siebie podobne, a rzędy następujących po sobie fal maleją bardzo szybko w stosunku statym.

$$1: e^{-\pi}: e^{-2\pi}: \dots = 1: 0.0432 \dots : [0.0432 \dots]^2: \dots$$

a zarazem zmieniają znak. Z tej własności wyciągamy ważny wniosek, że wpływ pieriaru przenosi się tylko na nie-wielką przestrzeń, poza którą może być praktycznie zaniedba-ny.

Jeżelibyśmy porządek układu przesunęli o $\frac{\pi}{4}$, to wrót η' przejdzie na wrót η ; podobnie przesunąwszy o $\frac{\pi}{2}$ i $\frac{3\pi}{4}$, przejdą wroty μ i μ' również na wrót η . Z tego wynika, że wszystkie części krzywe są zupełnie jednakowe, tylko względem siebie o chwarta części długości fali przesunięte. Przejdźmy z tych krzywych na krzywe przedstawiające η, M i Q , to te ostatnie są co do charakteru i długości fal jednakowe, a różnią się

tylko co do podziałki dla rzędnych, odpowiednio do tych
czynników, którym rzędne η , μ i μ' są w 13 wzorze pomno-
żone.

Krzywa ugięcia (η) charakteryzuje także ujemne rzędne, które
oznacza podniesienie się nawierzchni nad pierwotny
poziom podłoża, a zarazem [podług wzoru 7] ujemne ciśnie-
nia p . Ponieważ ujemnych ciśnień [czyli ciągłości] równowaga
wywrzeć nie może, dlatego powyższa teoria w zastosowaniu
do nawierzchni kolejowej nie jest ścisła. Dopiero, jeżeliby
przez inne ciężary P , a po części przez własny ciężar na-
wierzchni, który z powodu nierównego wpływu nie bywa
w teorii uwzględniany, te ujemne rzędne znikły, miałyby
ta teoria w zupełności zastosowanie do nawierzchni. —

Partya ab , na rys 4, której rzędne są dodatnie, oka-
zuje rzeczywisty rozkład ciśnienia na żwir. Jej powie-
rzchnia pomnożona przez C równa się w przybliżeniu
ciężarowi P . Na wykonanych nawierzchniach długość ab
wynosi 3.3 do 5.0 m, zaś długość fali $\pi L = 2.2$ do 3.3 m.
Jest ona tem dłuższa, a ciśnienia na żwir tem mniejsze
im dłuższa jest fala, a ponieważ długość fali $l = \frac{\pi}{H}$ jest
odwrotnie proporcjonalna do H , to podług wzoru 9. jest
ciśnienie p tem mniejsze, czem większe H , t.j. czem słabiej
winnajna nawierzchnia, — następnie czem słabsza równo-
waga [mniejsza C]

Jednakże wpływ tych ilości jest niebardzo znaczny, gdyż się znajdują pod czwartym pierwiastkiem wyrazu β .

§. 5. Największe wartości y , p , M .

Podług największych wartości obrachowuje się nawierzchnie. Powstają one, skoro tylko jeden ciężar działający na nawierzchnię w punkcie działania tego ciężaru [ob. rys. 4 i 5].

Dla tego punktu jest $\xi = x = 0$, więc podług wzoru 14. jest $\eta = \mu = -\mu^2 = 1$, a zatem podług wz. 13. wyraża się te największe wartości wzorami:

$$17 \dots \dots y_0 = \frac{HP}{2\beta b}; \quad p_0 = C \cdot y_0 = \frac{HP}{2\beta}; \quad M_0 = \frac{P}{4\beta}; \quad \text{zas } Q = -\frac{P}{2}$$

Porównawszy wzór 17 z wzorem 13 znajdziemy dla dowolnego punktu wartości:

$$17a \dots \dots y = y_0 \eta; \quad p = p_0 \eta; \quad M = M_0 \mu; \quad Q = Q_0 \mu^2$$

Nieraz poprzedzajemy na obciążeniu jednym ciężarem [mianowicie wtedy, jeżeli pochodzi się tylko o porównanie dwóch różnych nawierzchni], wtedy podług M_0 obrachujemy materię nawierzchni [wz. 4-6], które w tym przypadku nie powinno podług Schwedlera przekroczyć 1200 kg/cm^2 . Z powyższych wzorów wynika że:

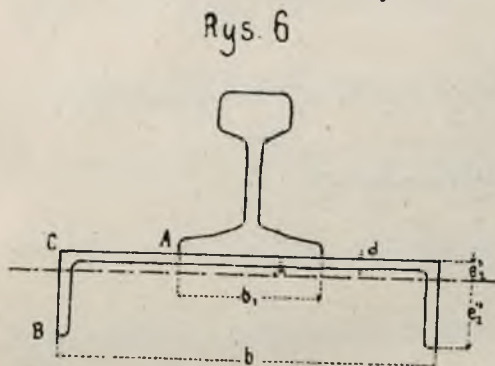
czem > tym mniejsze y_0 , p_0 i β

czem > C tym mniejsze y_0 , β , tym większe p_0

czem > b tym mniejsze y_0 i p_0 i β . —

§. 6. Natężenie poprzeczne i sumaryczne podkładu

Reakcja podłoża stara się w kierunku poprzecznym wygiąć podkład nawierzchni dwudzielny [albo szeroki, stopy szyny Haarmanna], wywołuje zatem natężenia które trzeba wyznaczyć. Partya AC [rys 6] na która podłożie wywiera nacisk, przedstawia się jako wspornik, więc największy moment powstanie w punkcie A. Dla pręszka temu dłuższego, [prostopadle do płaszczyzny pręszka] wynosi p_0 największe ciśnienie na jednostkę długości partyi AC, zatem moment w A:



[wynosi p_0 największe ciśnienie na jednostkę długości partyi AC, zatem moment w A:

$$M_3 = p_0 \cdot \frac{b-b_1}{2} \cdot \frac{b-b_1}{4} = \frac{1}{8} p_0 [b-b_1]^2$$

Gdy grubość blachy podkładu wynosi d , to powyższy moment wywoła w punkcie A natężenie:

18. $\sigma_3 = \frac{6M_3}{d^2}$

Nawiasem zaznaczamy, że przez wygięcie poprzeczne [ob. §. 7.] to natężenie cokolwiek się zmniejsza.

Jeżeli poprzednio obrachowane natężenie podtwine w punkcie B wynosi σ_2 , to natężenie podtwine w A wynosi $\sigma_2 \frac{e_2^2}{e_1^2}$; otóż natężenie sumaryczne w punkcie A znajdziemy w przybliżeniu, jeżeli do tego natężenia

podtwinu dodamy jedną, wartość, uśrednienia poprzecznego σ_3 ; albo też do uśrednienia σ_3 dodamy jedną, wartość, uśrednienia podtwinu. Zatem uśrednienie sumaryczne:

$$19 \dots \dots \dots \text{ albo } (\sigma_2) = \sigma_2 \frac{e_2^2}{e_2^2} + \frac{\sigma_3}{4}; \text{ albo } (\sigma_2'') = \frac{\sigma_2}{4} \frac{e_2^2}{e_2^2} + \sigma_3$$

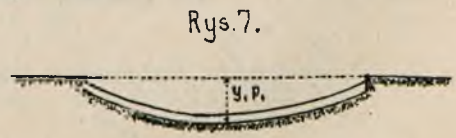
Te uśrednienia mogą być większe niż σ_2 w punkcie B., dlatego powinny być uwzględnione.

§. 7. Wpływ ugięcia poprzecznego.

Z powodu, że podkład w kierunku poprzecznym wygina się, [rys 7] powstają w środku [pod szyną] ugięcia y i ciśnienia p , które będą większe niż y_0 i p_0 , obliczone podług wzoru 17. Dokładne wyznaczenie tych zwiększonych ilości, znajdzie czytelnik w §. 16. drzewca 2., jak również ich wpływ na uśrednienie nawierzchni; tu przytoczymy tylko wyniki dwóch tanie rachowanych przykładów.

Otoż przez uwzględnienie poprzecznego ugięcia podkładu, nastąpiły dla dwóch różnych wartości znamienia C następujące zwiększenia w procentach:

C =	3	8
20. ...	7.6	17.7%



$\sigma_1, \sigma_2 \dots 2.3-4.4 \dots 6.0-7.5\%$ [drzewca 2 str 124.]

Mniejsze liczby odnoszą się do starszego podkładu.

Te liczby należy przy rachowaniu nawierzchni uwzględnić.

§. 8. Pret nieskończenie długi, obciążony kilkoma ciężarami jednakowej wielkości.

Działanie kilku ciężarów na jeden punkt jest sumą algebraiczną działań poszczególnych ciężarów. Jeżeli ich odstęp wynosi od uwarowanego punktu x_1, x_2, \dots , a odpowiednie $\xi_1 = Hx_1, \xi_2 = Hx_2, \dots$, a rzędy η w tych punktach są η_1, η_2, \dots , to uwzględnwszy wzór 17. a., znajdziemy ugięcie w tym punkcie:

$$21. \dots \dots \dots y = y_0 [\eta_1 + \eta_2 + \dots] = y_0 \Sigma \eta$$

Podobnie znajdziemy $\mu = \mu_0 \Sigma \eta$ i $M = M_0 \Sigma \mu$

Natem dla kilku ciężarów $\Sigma \eta$ i $\Sigma \mu$ zastępują η i μ dla jednego ciężaru.

Jeżeli dla każdego punktu pretu lub toku nawierzchni te sumy obliczymy i odetniemy jako rzędy, to otrzymamy linię wpływową dla y, M, \dots pod działaniem równocześnie poruszających się kilku ciężarów [np. lokomotywy] zamiast rachunku, dla którego trzeba by wartości x tabel interpolować, wygodniej i przejrzystiej te sumy wykonać z wykresu.

Rozpatrzmy różne przypadki:

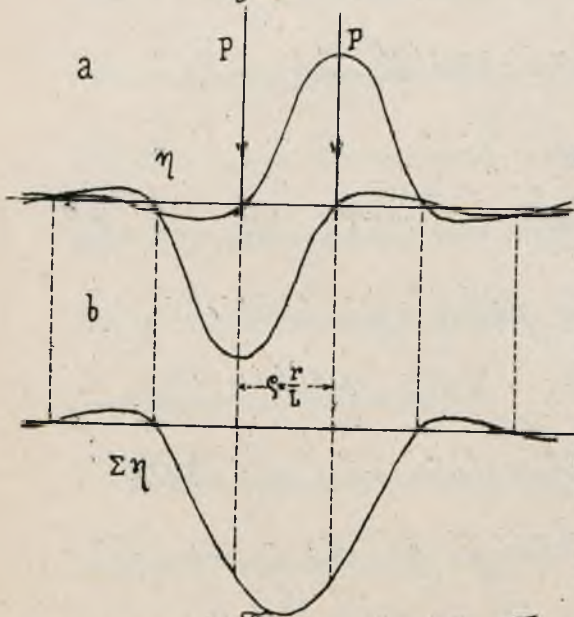
§. 9. Dwa jednakowe ciężary

Jeżeli wykres krzywej η wykonamy tak samo jak na

tabl. I. przedstawiony [podobny jak na rys. 4.]; następnie
 ten sam wykres przeniesiony na kalkę przy pomocy odwrotu
 [górną wykres rys 8] w odstępie $\zeta = \frac{\pi}{2}r$, gdy r jest odste-
 pem cieżarów. Dla przedstawienia wspólnego diagrama
 obu ciężarów sumuje się średnie z uwzględnieniem zna-
 ku, przeciw powstanie wykres b. jako linia wpływowa u-
 gęci dla obu równocześnie poruszających się ciężarów.
 Podobnie można sumować wykresy krzywych μ .

Zielibyśmy takie wykresy dla różnych odstępów r
 wykonali, tobyśmy się przekonali, że największa średnia

Rys. 8.



wykresu b, otrzymana dla pewnej
 wartości r minimalną długość.
 Na przykład, minimum średniej
 momentu powstanie wtedy, gdy
 uad największą średnią μ jedne-
 go wykresu znajduje się największą
 ujemną średnią drugiego wykresu.
 Według §. 4. odstęp tych średnich

wynosi $\frac{\pi}{2}$, zatem $\zeta = \frac{\pi}{2}$, czyli najkorzystniejszy odstęp
 dwóch ciężarów ze względu na momenta wynosi $r = L \cdot \frac{\pi}{2}$.

Dla tego odstepu wyznaczy się największy moment:

$M = 0.7921 M_0$, jest zatem o 21% mniejszy, niż dla jedne-
 go ciężaru (M_0). Przytem zwiększy się jednakże y i p , gdyż
 największa średnia $y = 1.2896 y_0$. W tym samym stosunku

wracała p. - Podobnie otrzymana największa wartość sumarycznego wykresu η minimum, wartość dla $\xi = \frac{\pi}{2}$, czyli dla $\xi = 2. \frac{\pi}{2}$, wynosząca, 0.9568%, więc ugięcie tylko nieznacznie mniejsze niż pod jednym ciężarem. Tab. V druku 2. okazuje linie wpływowe η i u dla różnych odstępów dwóch jednakowych ciężarów.

§. 10. Dwa niejednakowe ciężary P_1 i P_2

Jeżeli stosunek $P_1 : P_2$ wynosi α , to przy sumowaniu trzeba rzucić drugiego (górniego) wykresu przez α promiennie, co się równieży wykreślenie skutecznij. We wzór 17. wprowadzi się ostatecznie P_1 za P .

§. 11. Trzy jednakowe ciężary

Jeżeli się wykreślenie wykresu sumy dla dwóch ciężarów i odnieść je do wspólnej porównanej (jak rys 8. b.) to do tego wykresu dosunuje się rzucić trzeciego i każdego dalszego, w należytych odstępach utworzonego wykresu. Dla różnych odstępów x wykonane wykresy krzywych $\Sigma \eta$ i Σu przedstawia tabl. VI druku 2.

Z tych wykresów wynika, że $\Sigma \eta$ jest prawie równe pod środkowym ciężarem największa. N.p. dla rozstawu $\xi = \frac{\pi}{2}$ wypadła pod tym ciężarem $\Sigma \eta = 1.416\%$, wobec 0.957% dla dwóch ciężarów o rozstawie $\xi = \frac{\pi}{2}$. Jeżeli by jednak te same dwa ciężary były na brzy osie rotacji:

ne, to na każdą, osi tylko $\frac{2}{3}$ poprzedniego ciężaru,
 a zatem i $\frac{2}{3}$ Σy wypadnie, czyli stosunek ugięć pod
 dwoma i trzema ciężarami przedstawi się, jak:

$0.957 : \frac{2}{3} 1.416 = 1 : 0.985$ zatem będzie całkiem korzy-
 stniejszy. Z tego wynika, że rozkład na trzy osie pro-
woduje bardzo nieznaczne zmniejszenie ugięcia.

W tym uwarianym przykładzie wynosiło $L = 90.9 \text{ cm}$,
 zatem $x = \frac{\pi}{2} L = 143 \text{ cm}$, co odpowiada lokomotywie cięż-
 arowej.

Dla momentów są różnice jeszcze mniejsze?

§. 12. Ciężary jednakowe ciężary

Tu tylko zauważyć należy, że maxima momentów
 mogą powstać pod skrajnymi ciężarami, lecz co
 do wielkości nie wiele się różnią od momentów po-
 wstających pod trzema, a nawet pod dwoma cięża-
 rami.

§. 13. Dzielenie ciężarów nierównej wielkości na pret nieskończenie długi

Wielkość równoodległych ciężarów można tak do-
 brać, aby sumaryczny moment lub ugięcie zmniejszyć.

Wzięmy np. na uwagę trzy ciężary, to z badań wynika,
 że momenta będą równe:

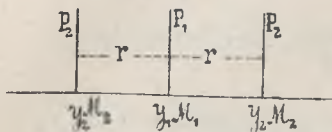
$$\text{dla } P_1 < P_2 \quad P_1 = P_2 \quad P_1 > P_2$$

$$x < 1,1L \quad x = 1,1L \quad x > 1,1L$$

Najmniejsza wartość momentu nastąpi dla $x = 1.4L$,
 gdy $P_1 = 1.1P_2$ a wtedy wynosi $M = 0.68 M_0$, jeżeli M_0 jest obra-
 chowane dla jednego ciężaru.

Rys. 9.

$$P = \frac{1}{3}(P_1 + 2P_2)$$



W tym wypadku dają więc trzy ciężary
 moment o 32% mniejszy niż jeden ciężar
 o wielkości średniej arytmetycznej trzech ciężarów. Ten wy-
 nik ma znaczenie dla konstrukcji lokomotyw.
 W powyższych przypadkach nastąpi jednakże zwykłe
 zwiększenie ugięcia y .

Równanie ugięć $y_1 = y_2$ (jakoteż ciśnień $p_1 = p_2$), nastąpi dla
 innych stosunków ciężarów:

$$\text{dla } P_1 < P_2 \quad P_1 = P_2 \quad P_1 > P_2$$

$$\text{gdy } x < 2.42L, \quad x = 2.42L \quad x > 2.42L$$

Najmniejsze ugięcie otrzymamy więc gdy $x = \pi L$, a $P_1 = 1.04P_2$
 i wynosi $y = 0.943 y_0$, gdy y_0 obrachowane dla jednego cie-
 żaru P_0 o wielkości średniej arytmetycznej trzech cięża-
 rów. Rozstaw osi tej wielkości lokomotywy nieposia-
 dają, a dla mniejszego rozstawu i to niewielkie zmniej-
 szenie wynika.

§. 14. Przerwy ciągłości

W teorii powyżej przedstawionej przypuszczaliśmy, że
 tok nawierzchni jest ciągły bez przerw i że posiada staty
 przekrój. Tymczasem toki strome i kawatki szyn i podkła-

dów u potężniejszej poprzeczce, wykazują, mniej lub więcej wybitne przerwy ciągłości, z których najwęższe rozważamy.

a. Poprzeczki łazące podkłady podtwarne powodują, że w tem miejscu, gdzie się poprzeczka znajduje najmniej się wgnębienie, natomiast nieraz bardzo znacznie zwiększenie momentu następuje. Stosunki są, tem gorsze im szersza poprzeczka; z tego powodu powinni być poprzeczki wazkie.

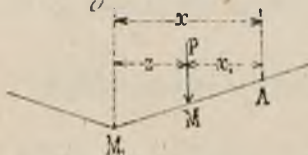
Podobnie, lecz jeszcze niekiedy lepiej przedstawia się, mur [np. przyczółka mostu] przez który nawierzchnia przechodzi. Jeżeli ciężary znajdują się obustronnie muru w odległości $\frac{1}{4} \pi L$, to nad murem powstanie ujemny moment, którego wielkość $M = 1.29 M_0$.

b. Przerwa w żwirówce przedstawia się, co do momentu tak samo jak poprzeczka, tylko z ujemnym wynikiem, zaś ugięcie zwiększa się.

c. Miejscowe zmniejszenie momentu bezwadności przekroju nawierzchni.

Przegub. Jeżeli w przerwie znajduje się przegub, a ciężar działający w odstępach od przegubu, to pod ciężarem dozna moment największej zwisany, gdy $x = \frac{3}{16} \pi L$ i wynosi $M = 1.067 M_0$,

Rys. 10.



więc mierzalnie większy. Natomiast zwiększa się y .

W miejscu przegubu zmienia się ugięcie stosownie do wielkości odstepu x . Tak gdy $x = \frac{1}{2} \pi L$, to $y = 0$ na przegubie, a wtedy cała lewa część toku nie doruża żadnych wartości. Dla $x = \frac{3}{4} \pi L$ następuje największe podwinięcie przegubu, równe $\dots = 0.134 y$.

Gdy ciężar stoi na przegubie ($x = 0$) to $y = 2y_0$, zaś M osiągnie $= 0$. Po obu stronach przegubu jest moment ujemny aż do odległości $\frac{1}{2} \pi L$, a w odległości $\frac{1}{4} \pi L$ jest największy i wynosi $-0.645 M_0$. Jeżeliby po ra tym punktem rwał w odległości $\frac{1}{4} \pi L$ rwał przegub, to między tymi przegubami podwoi się moment, wyniesie zatem $-1.29 M_0$. Jest to to samo, jak gdyby w ciągłej nawierzchni znajdował się zupełnie sztywny podkład (np. mur.)

A tak wniosek, że krótkie kawałki (do odległości $\frac{1}{2} \pi L$) sztywnych i podkładów utworzonych w nawierzchni są nieodpowiednie

β. Przerwa w podkładzie podturynnym powoduje zmniejszenie momentu bezwładności przekroju nawierzchni. Przez taką przerwę wytworzą się stawy mniej lub więcej zbliżony do potłaczania przegubowego.

γ. Styk nietubkowany. Jeżeli wspólny styk sztywny i podkładu nie jest tubkowany (co się może zdarzyć np. przy wymiarach nawierzchni), wtedy tok jest przecięty

i przedstawia się jako niekonwulsyjnie długi, lecz jednostronnie ograniczony. Wpływ przecięcia jest ogromny. Ciężar nad przerwą, stojący wywołuje wygięcie $y = 4y_0$, a największy moment wynosi 1.0432 tko. Jednakże już w małej odległości $z = \frac{3}{8} \pi L$ od przerwy znajdujący się ciężar wywołuje y i M prawie równe y_0 i tko.

§. 14. Zmniejszenie miejscowego zmniejszenia momentu bezwładności można uzyskać przez podcięcie podkładu jako poprzeczki. Dla pewnego zachowanego przykładu okazało się, że przez takie rozwiązanie uzyskano się w miejscu przegubu zmniejszenie wygięcia z 2y₀ na 1.043y₀, co prawda przy równoczesnym zwiększeniu momentu na 1.119 tko.

§. 15. Przykład obrachowania wytrzymałości nawierzchni podturynj pod wpływem działania sił pionowych.

Nawierzchnia jest dwudzielna, składająca się z szyny i podkładu ielaznego. Dane dla szyny:

$J_1 = 900 \text{ cm}^4$, szerokość stopki $b_1 = 11 \text{ cm}$, odstęp skrajnych włókien od osi obojętnej przekroju $e_1 = 6.5 \text{ cm}$.

Dane dla podkładu: $J_2 = 130 \text{ cm}^4$, $b = 30 \text{ cm}$, $e_2' = 2.5$, $e_2'' = 5.5 \text{ cm}$
grubość blachy $d = 0.8 \text{ cm}$ (ob. rys. 6.)

Dla materjału szyny i podkładu jest $\epsilon_1 = \epsilon_2 = \epsilon = 2 \cdot 10^6 \text{ kg/cm}^2$
ratem $J = J_1 + J_2 = 1030 \text{ cm}^4$. Ciężar $P = 7000 \text{ kg}$.

Obliczenia ma być przeprowadzone równolegle dla dwóch wartości $C = 3$ i 8 .

Naprzód obliczy się podług wz. 9. i 15.:

$$\beta = \begin{cases} \sqrt[4]{\frac{3 \cdot 30}{4.2 \cdot 1030 \cdot 10^6}} = \frac{1}{100} \sqrt[4]{\frac{9}{824}} = 0.01022; & L = 97.84 \text{ cm} \\ \sqrt[4]{\frac{8 \cdot 30}{4.2 \cdot 1030 \cdot 10^6}} = \frac{1}{100} \sqrt[4]{\frac{3}{103}} = 0.01306; & L = 76.57 \text{ cm} \end{cases}$$

Górne liczby odnoszą się do $C = 3$ dolne do $C = 8$.

Następnie znajdziemy, podług wz. 17.:

$$q_0 = \begin{cases} \frac{0.01022 \cdot 7000}{2 \cdot 3 \cdot 30} = \frac{7.154}{18} = 0.397 \text{ cm} \\ \frac{0.01306 \cdot 7000}{2 \cdot 8 \cdot 30} = \frac{9.142}{48} = 0.190 \text{ cm} \end{cases}$$

$$p_0 = Cq = \begin{cases} 3 \cdot 0.397 = 1.19 \text{ kg/cm}^2 \\ 8 \cdot 0.190 = 1.52 \text{ kg/cm}^2 \end{cases}$$

$$M_0 = \frac{PL}{4} = \begin{cases} \frac{7000 \cdot 97.84}{4} = 171220 \text{ kgcm} \\ \frac{7000 \cdot 76.57}{4} = 134000 \text{ kgcm} \end{cases}$$

Wprowadzimy te wartości momentów do wz. 6. otrzymujemy:

$$\sigma_1 = \frac{e_1}{J} \cdot M_0 = \begin{cases} \frac{6.5 \times 171220}{1030} = 1080 \text{ kg/cm}^2 & \text{materie w głowie} \\ \frac{6.5 \times 134000}{1030} = 846 \text{ kg/cm}^2 & \text{w stopce szyny} \end{cases}$$

$$\sigma_2 = \frac{e_2}{J} \cdot M_0 = \begin{cases} \frac{5.5 \times 171220}{1030} = 914 \text{ kg/cm}^2 & \text{materie podłużne dolnych} \\ \frac{5.5 \times 134000}{1030} = 715 \text{ kg/cm}^2 & \text{włókien przekładni (B na rysk.)} \end{cases}$$

Jeżeliby się rozchodziło tylko o porównanie dawnej nawierzchni z inną, to powyższe obliczenia, przeprowadzone dla jednego ciężaru wytarziny, jeżeli jednak chodzi o wyznaczenie największych materiałów, jakich nawierzchnia doznaje, to trzeba do obliczenia wprowadzić

osić najcięższą i największą obciążającą lokomoty-
 we, jakolei inne symulki mające wpływ na usterzenie
 nawierzchni. Osić powierzymy, że lokomotywa posiada
 trzy osie, a każde koło jest obciążone ciężarem $P = 7000 \text{ kg}$.

Odstęp osi wynosi $r = 150 \text{ cm}$

Podług §.10. jest $S = \kappa r = \begin{cases} 1.533 \\ 1.959 \end{cases}$

Dla tych wartości najdłuzsze się z tabl. I, że największa
 średnia η pod środkowym ciężarem wynosi

$$\max \eta = \begin{cases} 1 + 2 \cdot 0 \cdot 230 = 1.460 \\ 1 + 2 \cdot 0 \cdot 078 = 1.156. \end{cases}$$

Średnie μ wyznacza się:

pod środkowym

ciężarem

$$\mu = \begin{cases} 1 - 2 \cdot 0 \cdot 207 = 0.586 \\ 1 - 2 \cdot 0 \cdot 186 = 0.628 \end{cases}$$

Pod skrajnymi ciężarami powitać większą średnią μ ,
 zatem

$$\max \mu \begin{cases} 1 - 0 \cdot 207 - 0.05 = 0.743 \\ 1 - 0 \cdot 186 - 0.00 = 0.814 \end{cases}$$

Wpływ trzeciego koła wynosi $\begin{cases} -0.05 \\ 0.00 \end{cases}$ zatem $\begin{cases} 0.743 \\ 0.814 \end{cases}$

Do wyznaczenia największych η , μ i M ryzykujemy
 wzór 17. a.:

$$\eta = \max \eta \cdot \eta_0 \begin{cases} 1.460 \cdot 0.397 = 0.58 \text{ cm} \\ 1.156 \cdot 0.190 = 0.22 \text{ cm} \end{cases}$$

$$p = C \cdot \eta = \begin{cases} 1.74 \text{ kg/cm}^2 \\ 1.76 \text{ kg/cm}^2 \end{cases}$$

$$M = \max \mu \cdot M_0 = \begin{cases} 171220 \cdot 0.743 = 127216 \text{ kgcm} \\ 134000 \cdot 0.814 = 109076 \text{ kgcm} \end{cases}$$

$$\bar{c}_1 = \begin{cases} \frac{6.5 \cdot 127216}{1030} = 803 \text{ kg/cm}^2 \\ \frac{6.5 \cdot 109076}{1030} = 688 \text{ kg/cm}^2 \end{cases} \quad \bar{c}_2 = \begin{cases} \frac{5.5 \cdot 127216}{1030} = 679 \text{ kg/cm}^2 \\ \frac{5.5 \cdot 109076}{1030} = 582 \text{ kg/cm}^2 \end{cases}$$

Powyższe wartości zwiększą się jeszcze, gdy podług §. 7. uwzględnim się wpływ ugięcia poprzecznego. Ponieważ dawa nawierzchnia należy do silniejszych, to uwzględnimy procentowe zwiększenie

gdy $C = \dots \dots 5 \dots \dots 8$
dla γ i $\rho \dots \dots 8 \dots \dots 18\%$
dla \bar{c}_1 i $\bar{c}_2 \dots \dots 4 \dots \dots 7\%$

Wtedy otrzymamy:

$$\gamma = \begin{cases} 0.58 \cdot 1.08 = 0.63 \text{ cm} \\ 0.22 \cdot 1.18 = 0.26 \text{ cm} \end{cases} \quad \rho = \begin{cases} 1.74 \cdot 1.08 = 1.88 \text{ kg/cm}^2 \\ 1.76 \cdot 1.18 = 2.08 \text{ kg/cm}^2 \end{cases}$$

$$\bar{c}_1 = \begin{cases} 803 \cdot 1.04 = 835 \text{ kg/cm}^2 \\ 688 \cdot 1.18 = 812 \text{ kg/cm}^2 \end{cases} \quad \bar{c}_2 = \begin{cases} 679 \cdot 1.04 = 706 \text{ kg/cm}^2 \\ 582 \cdot 1.18 = 687 \text{ kg/cm}^2 \end{cases}$$

Podkreślone wartości są największe. Następnie mamy uwzględnić podług §. 6 uciążenie poprzeczne podkładu. Gdy wprowadzimy we wzorek dla M_3 zamiast ρ_0 powyższą wartość ρ , to otrzymamy:

$$M_3 = \frac{1}{8} \rho (b - b_1)^2 = \begin{cases} \frac{1}{8} \cdot 1.74 \cdot 19^2 = 78.5 \text{ kg/cm} \\ \frac{1}{8} \cdot 1.76 \cdot 19^2 = 79.4 \text{ kg/cm} \end{cases}$$

a uciążenie z wz. 18.: $\bar{c}_3 = \begin{cases} \frac{6 \cdot 78.5}{0.64} = 736 \text{ kg/cm}^2 \\ \frac{6 \cdot 79.4}{0.64} = 744 \text{ kg/cm}^2 \end{cases}$

Teraz trzeba sprawdzić czy ten sumaryczne uciążenie w punkcie A (rys. 6.) nie będzie większe. Ponieważ $e_2 = 2.5 \text{ cm}$ to podług wz. 19.:

$$\dots \left\{ \begin{array}{l} \frac{706 \cdot 2.5}{5.5} + \frac{736}{4} = 321 + 184 = 505 \text{ kg/cm}^2 \\ \frac{687 \cdot 2.5}{5.5} + \frac{744}{4} = 330 + 186 = 516 \text{ kg/cm}^2 \end{array} \right.$$

$$\left(\sigma_2'' \right) = \left\{ \begin{array}{l} \frac{1}{4} \cdot 321 + 736 = 80 + 736 = \underline{816} \text{ kg/cm}^2 \\ \frac{1}{4} \cdot 330 + 744 = 83 + 744 = \underline{827} \text{ kg/cm}^2 \end{array} \right.$$

(σ_2'') jest większe niż σ_2 , jest zatem największym natężeniem przekładni.

Nawierzchnia podłuzna pod wpływem sit poziomych

§. 16. Siła pozioma H i jej wpływ na nawierzchnię.

Silnicza, różnorodna przyczyna, które wywołują, ma
tok nawierzchni poziome sity w kierunku poprzecznym.

Najbardziej powstają one przy przedniej osi lokomotywy
i są (z wyjątkiem działania wiatru) proporcjonalne
do obciążenia pionowego tej osi i do chylności jazdy.

Jedną z wybitnych sit poziomych byłaby siła odśrodkowa
w łukowym torze, napierająca waz na tok równo-
bruny, — jednakże ta siła jest równoważona przez ma-
lerycie dostosowaną, przeciwną toru.

Grupa, i najważniejsza przyczyna, wywołująca, sity poziome,
jest rwanie na boki lokomotywy, powodowane nierówno-
czesnem działaniem kół. To rwanie sprawia krótkie u-
derzenie kół o szyny, objawiające się, silniej w prostym niż
w łukowym torze.

*) Na kolejach konnych i elektrycznych ta przyczyna odpadła.

Pracizna przyrzecia jest sila wiatru działajaca na boki
 worów. Jej wpływ jest od poprzednich znaczenie mniejszy.
 Wpływy powyższych przyrzecia mogą się jednakże zsumować
 i dochodzić znaczącej wielkości. Tak na rozjazdach, gdzie
 przyrzecia natury konstrukcyjnej mogą spotęgować uderze-
 nia spowodowane silą poziomą dochodzącą do wielkości
 obciążenia P na kolo, ustamiast na szlaku dobrze utrzy-
 mym wartość nie przekracza wartości $0.25P$.

Podług Eugenera można przyjąć:

$$22. \dots H = 0.003 v P \text{ lub ogólnie } H = \beta P.$$

W tym wzorze oznacza v szybkość pociągu w km na godzinę.
 Punkt przyłożenia siły H znajduje się na przejściu z górnego
 do dolnego zaokrąglenia głowy szyny, tem więcej im ta siła
 jest większa, a wypadkowa z równocześnie
 działających sił P i H , przechodzi ukośnie
 w bliskości środka ciężkości przekroju.

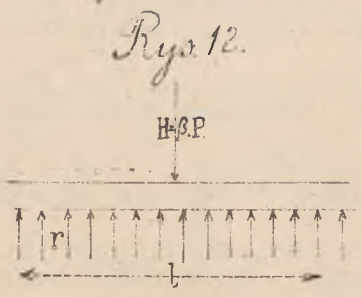


Wypadkowa przecina podstawę, zawsze
 jeszcze w jej obrębie, tak, że wywrót szyny
 nawet nieprzytwierdzonej do podkładu, nastąpić nie
 może, jeżeli siła H nie przekracza wartości określonej wzor-
 em 22 [ob. około 5 str. 62]

Działanie siły H na nawierzchnię jest różnorodne:

a) Siła H stara się, tak w planach poziomych wygiąć, czemu

stawią opór poprzeczki i tarcie podkładu w podłożu, i wywołuje w nawierzchni natężenie, które według Boussera znajdziemy w przybliżeniu w następujący sposób: jeżeli odstęp ciężarów łonowych wynosi a , to przyjmując, że ciężar P rozkłada się jednostajnie na długość a , wymerie obciążenie łonu $\frac{P}{a}$ na jednostkę długości. To obciążenie wywołuje w podłożu tarcie, które również na jednostkę długości wymerie $r = \varphi \cdot \frac{P}{a}$, gdy φ jest współczynnikiem tarcia dla podkładu i żwiru. Na długości l wymerie tarcie $r \cdot l$, a jeżeli ono równa się sile H , to



tarcie na tej długości l wystarcza dla równoważenia siły H przeciw poziomemu przesunięciu, nawet bez pośrednictwa poprzeczek.

Z równania $l \cdot \varphi \frac{P}{a} = \beta P$ wyznaczymy l , niewiadomą, długość $l = \frac{\beta \cdot a}{\varphi}$. Gdyby partya łonu na długość l nie trzymała z sumowaniem partyan, toby w punkcie orientacji siły H powstał moment

$$M_4 = \frac{r l^2}{8} = \frac{\beta^2 P a}{8 \varphi} \text{ lub dla } \varphi = \frac{3}{4}, M_4 = \frac{\beta^2 P a}{6}$$

Jeżeliby zaś partya l była na końcach poziomu utwierdzonego, toby moment wynosił $\frac{2}{3}$ poprzedniego, czyli $\frac{\beta^2 P a}{9}$.

Faktycznie otrzymuje się wartość pośrednią, która, obierając

23. używa $M_4 = \frac{\beta^2 P a}{8}$

z góry
próbnego
obciążenia
faktorem

Ten moment działa na partycję toku znajdującą, się między poprzeczkami i nie jest przez nie alterowa-
wany gdyż długość l jest mniejsza niż odstęp poprze-
czek.

Podług wzoru M do obliczający materiał b_4 i
 b_5 lub b_5 w punkcie A spowodowane momentem M_4
w rygu i podkładzie, przytem uważaj należy, że mo-
menty bezwładności I_1 i I_2 mają być wyznaczone
względem pionowej osi przekroju. Materiał b_4 i b_5
ewent. b_5 sumują się wprost do materiału wywołanych
obciążeniem pionowym.

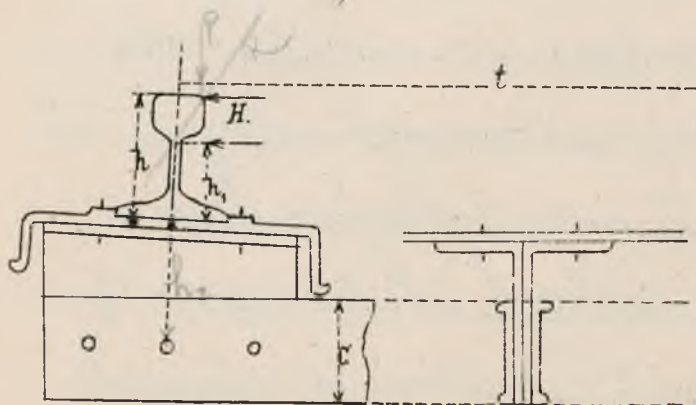
b. Z powodu, że wypadkowa sił P i H przecina równo-
kowo podstawę nawierzchni, występuje niejednorodny
rozkład ciśnienia na podłożu, skutkiem czego tok
doznaje skręcenia a też rozszerzenia. Przeciwnie
skodliwym wpływom najskuteczniej działają poprze-
czki.

§. 17. Poprzeczki nawierzchni podtornej.

Aby poprzeczki spełniały powyżej określone zadanie, powin-
ne być dostatecznie sztywne, to znaczy że ich przekrój powin-
nie względem osi poziomej posiadać znaczny moment
bezwładności. Przytem pamiętać należy, że podług §. 15a.
poprzeczka powinna być wazka.

Pracowanie siły H na poprzeczkę jest podwójne, jako ciągnięcie i jako moment zgięcia. Ponieważ dla wywarcia siły H musi się osiowo przesunąć, to przez tarcie, części tej siły także na drugi łuk się przenosi; z tego powodu trzeba przyjąć, że na poprzeczkę tylko około połowy siły H przeniesie się jako ciągnięcie. Jeżeli F jest przekrojem poprzeczki, to natężenie wy-

Rys. 13.



wolne ten ciągnięciem wynosi $\frac{H}{2}$.

Pracowanie tej siły H obieramy w punkcie w którym wypadkowa P i H przecina osi ciężkości nawierzchni.

Wtedy według oznaczeń na rys. 13. wynosi moment siły porówny względem osi ciężkości przekroju poprzeczki $M = H[h_1 + h_2]$ i jest dla wszystkich przekrojów poprzeczki ilością stałą. Ponieważ moment stały, to krzywizna $\frac{a^2}{2t^2}$ stała, czyli wygięcie nastąpi podług koła.

Natężenie $\frac{M}{2F}$ wywołane momentem sumuje się do poprzedniego. Zatem całkowite natężenie poprzeczki wynosi

$$24. \dots \dots \dots \sigma_p = \frac{H}{2F} + \frac{H(h_1 + h_2)c}{2J_p}$$

Znak odnosi się do dołnych uśnionych włókien.

Z powodu wygięcia poprzeczki nastąpi rozszerzenie toru,

które w ten sposób wyznaczamy: Ponieważ moment M jest stały, to poprzeczka wygina się, podług koła, a stywnia do linii wygięcia w przekroju spadającym z ośią ciężkości nawierzchni równieża nachylenie $\tau = \frac{Mt^*}{2\varepsilon J_p}$, jeżeli t oznacza odstęp linii ciężkości obydwa toków. Górnie odchylenie jednego toku wynosi $i(h_1 + h_2)$, a dla obydwa toków, czyli rozszerzenie toru równa u_2 :

$$Z = 2i(h_1 + h_2) = \frac{Mt}{\varepsilon J_p}(h_1 + h_2)$$

a po wstawieniu wartości za M

$$\S. 15. \dots \dots \dots Z = \frac{Ht(h_1 + h_2)(h_1 + h_2)}{\varepsilon J_p}$$

Można postawić zadanie aby Z nie przekroczyło pewnej granicy dla tej granicznej wartości obrachuje się J_p ze wz. 15., a do J_p dostępuje się wymiary poprzeczki.

§. 18. Przykład obrachowania wytrzymałości nawierzchni podłużnej pod wpływem sił poziomych.

Do dat podanych dla przykładu nawierzchni w §. 15. potrzebne są nam jeszcze momenty bezwładności przekrojów względem osi pionowej, $J_1 = 210 \text{ cm}^4$, $J_2 = 2200 \text{ cm}^4$, i chyłość pociągu, która obieramy na 60 km/godz.

*) Z wzoru $\frac{d^2y}{dx^2} = \frac{M}{\varepsilon J_p}$ otrzymuje się $\frac{dy}{dx} = \tau = \frac{M}{\varepsilon J_p} \int dx + C = \frac{Mt}{\varepsilon J_p} + C$.

Przy porażek układu współrzędnych w stroku poprzeczki, to dla $x=0$ jest τ i $C=0$ zaś dla $x = \frac{t}{2}$ jest $\tau = \frac{Mt}{2\varepsilon J_p}$.

Wtedy podług wz. 22. wyznaczamy się $\beta = 0.0032 = 0.18$, więc

$H = 0.18 \times 7000 = 1260 \text{ kg}$, a podług wzoru 23.

$$M_4 = \frac{\beta^2 P a^3}{8} = \frac{0.18^2 \cdot 7000 \cdot 150^3}{8} = \frac{34020}{8} = 4252 \text{ kgcm}$$
, a podług

wz. 6. obrachuje się, gdy $e_1 = 5.5 \text{ cm}$, $e_2 = 15 \text{ cm}$;

$$\text{materie nie przygię } \sigma_4 = \frac{5.5 \cdot 4252}{2410} = 9.7 \text{ kg}$$
.

$$\text{materie nie podkładu (w punkcie B) } \sigma_5 = \frac{15 \cdot 4252}{2410} = 26.4 \text{ kg}$$
,

zaś w A $\sigma_5' = \sigma_5 \cdot \frac{5.5}{15} = 9.7$ (jak w stopni przygię).

Przebieg te wartości sumujemy z materiami w §. 15. dla obciążenia pionowego, to wyznikną całkowite materia:

$$\sigma_1 = \begin{cases} 835 + 9.7 = 845 \text{ kg/cm}^2 \\ 812 + 9.7 = 822 \text{ kg/cm}^2 \end{cases} \quad \sigma_2 = \begin{cases} 706 + 26.4 = 732 \text{ kg/cm}^2 \\ 687 + 26.4 = 713 \text{ kg/cm}^2 \end{cases}$$

$$\sigma_2''' = \begin{cases} 816 + 9.7 = 826 \text{ kg/cm}^2 \\ \sigma_2'' + \sigma_5' = 827 + 9.7 = 837 \text{ kg/cm}^2 \end{cases}$$

Te materia σ_2 w punkcie A (rys 6.) są większe niż materia (σ_2''') w §. 15, są to więc największe materia jakich dorużaje podkład.

W celu obrachowania poprzeczki przyjmujemy $h = 14$, $h_1 = 9$, $h_2 = 13 \text{ cm}$, $t = 150 \text{ cm}$. Poprzeczka z tworzywa z dwóch tańm ielaznych (ob. rys. 13.) o grubości t cm a wysokości e , która wyznaczamy z warunkiem, żeby promierzenie toru σ nie przekroczyło 0.2 cm .

Z równania 25 znajdziemy:

$$0.2 = \frac{1260 \cdot 150 \cdot 22 \cdot 27}{2 \cdot 10^6 \cdot \sigma_p} \quad \text{a stąd } \sigma_p = \frac{1260 \cdot 150 \cdot 22 \cdot 27}{2 \cdot 0.2 \cdot 10^6} = 280.665 \text{ cm}^2$$

a gdy $T_p = \frac{c^3}{6}$, to $c^3 = 1684$, zaś c okrajało 12 cm.

Dla tej wartości znajdzie się $T_p = \frac{12^3}{6} = 288 \text{ cm}^3$; $T = 24 \text{ cm}^2$
 a w terenie przekroju poprzeczki na ciągnięcie podług

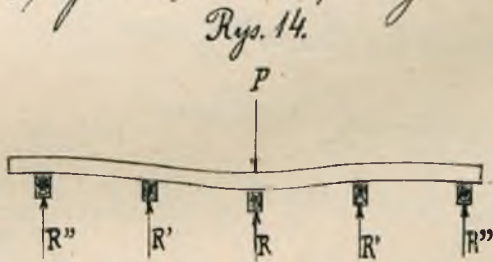
wz. 24: $T_p = \frac{1260}{48} + \frac{1260 \cdot 22 \cdot 12}{2 \cdot 288} = 26.3 + 577.5 = 604 \text{ kg/cm}^2$.

Nawierzchnia poprzeczna pod wpływem sił pionowych.

W nawierzchni poprzecznej mamy wyrównanie materiału sypkiego, podkładu, podłoża i ugięcia nawierzchni.

§. 19. Wytrymatoró podkładu i podłoża. Ugięcie nawierzchni.

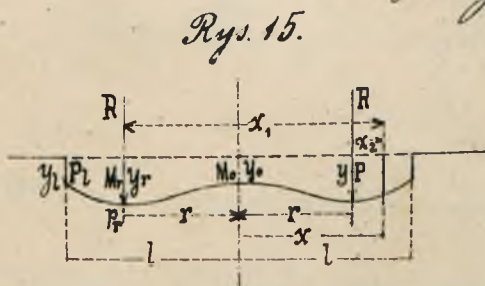
Podkład przedstawia się jako dźwigan o długości ograniczonej, obciążony symetrycznie dwoma ciężarami R (rys. 15.) Te ciężary R nie są, to cieżkowite ciężary P , działające na kółko, gdyż z powodu, że sypka podkładu ten ciężar ma



Rys. 14.

kilka podkładów (ob. rys. 14.), to na obciążony podkład przenosi się tylko część R ciężaru P , równa oddziaływaniu równa na ten podkład. Stosunek jaki zachodzi między P a R porównany poniżej. (ob. § 24.)

Podkład obciążony ciężarami R , a utworzony cieżkowicie na zwirze ugnie się i rozgębi.



Rys. 15.

(ob. rys. 15.) a stosunek między redukcją ugięcia y i przesunięciem na jednostkę powierzchni

podstawa p jest oznaczony wz. 7. $p = C.y.$

Jakich podobnie jak w §. 2. wprowadzimy zamiast krzywizny długości stosunki określone wyrazem K (wz. 9.), to oznaczymy $K.x = \xi$ (wz. 11.) a podobnie $K.l = \lambda$, $K.r = \rho$, $K.x_1 = \xi_1$, $K.x_2 = \xi_2$. Przyjmy punkt układu współrzędnych w środku podkładu, otrzymamy następujące warunki, które do wz. 12. wprowadzić należy: Dla $x = \xi = 0$ jest $\text{tg } \varphi = 0$; dla $x = l(\xi - s)$ jest $M = 0$ i $Q = 0$; dla $x = \xi = 0$ jest $Q = 0$. Te trzy warunki umożliwią wypracowanie z wz. 12. niewiadomych A, B, C, D , i wyznaczenie ilości η, μ, M, Q dla dowolnego przekroju podkładu.

Teoria dochodzi do następujących wzorów:

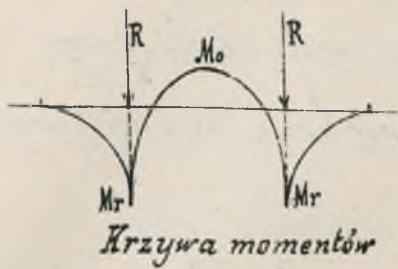
$$26. \dots \left\{ \begin{array}{l} \eta = \frac{KR}{E\delta} \left\{ \frac{1}{2}(\eta_1 + \eta_2) + u_\xi \text{Lof } \xi \cos \xi + v_\xi \text{Sin } \xi \sin \xi \right\} \text{ lub } \eta = \frac{KR}{E\delta} [\eta] \\ M = \frac{R}{2K} \left\{ \frac{1}{2}(\mu_1 + \mu_2) - v_\xi \text{Lof } \xi \cos \xi + u_\xi \text{Sin } \xi \sin \xi \right\} \text{ lub } M = \frac{R}{2K} [\mu] \end{array} \right.$$

W pierwszym wzorze wyraża ilość δ oznacza dołuz szerokość podkładu. Znaczenie wyrazów η i η_1, μ i μ_2 określa wzór 14, w którym ca ξ wstawia się ξ_1 i ξ_2 . Są one obrachowane w tabeli II drucika 2. Skon' u_ξ i v_ξ podaje tabela VI, zaś funkcje hyperboliczne $\text{Lof } \xi$ i $\text{Sin } \xi$ *) tabela I. tego samego drucika.

Zwytkowując te tabele, starannie przez Zimmerman obrachowane, można dla każdego przypadku wyznaczyć przebieg linii η i M . (ob. także rys. 15.a.)

*) $\text{Lof } \xi = \frac{e^\xi + e^{-\xi}}{2}$, $\text{Sin } \xi = \frac{e^\xi - e^{-\xi}}{2}$

Rys. 15. a.



Jeżeli się porzuci tylko o główne punkta dla $x=0$, $x=l$, czyli dla $\xi=0$, $\xi=l$, wystarczy dla obliczenia wytrzymałości uwięzchni, to oznaczmy nawiasy wron 26. kolejno

$[\eta_0], [\mu_0]$ dla $\xi=0$, zaś $[\eta_\xi], [\mu_\xi]$ dla $\xi=\xi$ i $[\eta_l], [\mu_l]$ dla $\xi=l$ a wtedy wron powyższy przejdzie w następujący:

	dla środka	dla punktu dział. siły	dla końca
27	$\begin{cases} y_0 = \frac{KR}{Eb} [\eta_0] \\ p_0 = Cy_0 \\ M_0 = \frac{KR}{2K} [\mu_0] \end{cases}$	$\begin{cases} y = \frac{KR}{Eb} [\eta_\xi] \\ p_\xi = Cy_\xi \\ M_\xi = \frac{KR}{2K} [\mu_\xi] \end{cases}$	$\begin{cases} y_l = \frac{KR}{Eb} [\eta_l] \\ p_l = Cy_l \\ M_l = 0 \end{cases}$

Dla różnych wartości ξ i l są powyższe nawiasy $[\eta_\xi], [\mu_\xi]$ i $[\eta_l]$ zestawione w dostarczonej tabelce, ułożonej według tabeli VI. druku 2. Według y oblicza się p , zaś według momentów wyznaczy się materia w podkładzie.

Przebieg linii momentów i ugięć zależy od wymiarów podkładu, od stosunku $x:l$ i od ruszenia i wirówki. Skorona dla tych linii wykaże pewne dogodnie stosunki przez odpowiednią zmianę długości podkładu.

I tak największe momenta otrzymują, wtedy najmniej: są wartości, gdy będzie $M_0 = M_x$. Dla rachowanego przykładu normalnotorowej kolei, nastąpi to dla $C=3$ gdy $2l=241$ cm, dla $C=8$ gdy $2l=225$ cm, ale w tych przypadkach powstają wielkie różnice w ciśnieniach.

Najkorzystniejszemu ugięciu nastąpi wtedy, gdy $y_0 = y_L$.
Dla powyższego przykładu nastąpi ten warunek gdy
24 - 270 cm. Ta długość jest znacznie większa niż u nas
zwykle wzywana.

Co do materiału z jakiego podkład jest robiony, to
jego wpływ na przebieg linii M i y jest nieznaczny. Mia-
nowicie zachowane przykłady podkładów drewnia-
nych i żelaznych o wymiarach zwykle wzywanych,
wykazują małe różnice w przebiegu tych linii. —

§. 20. Linia ugięcia i rozkład ciśnienia podkładu
równomiernie podbitego i w środku niepodbitego.

Dla należytego utrzymania położenia toru i jego pre-
kości, nie jest rzeczą obojętną, jaki przebieg ma linia
 y i p . Dla pierwszego powinno być y_0 mniejsze niż
 y_L , a obydwa ugięcia możliwie małe, dla drugiego po-
winna w punkcie działania ciężaru R stygnąć do linii
ugięcia być poziomą, lub do poziomu zbliżoną. Przykła-
dy zachowane przez Zimmermanna a przedstawione
na tablicy VI. dziela 2, wykazują, dla trzech długości
I. II. III. wynoszących 240, 255 i 270 cm, że tylko ta ostat-
nia długość czyni radosyć powyższemu warunkowi,
że zatem długość 240 cm a najwyżej 250 cm u nas za-
wyczaj wzywana, jest dla należytego utrzymania toru

ra mata₃. Poaktady krótkie mogą dorwać przeto poprawy, że się ich w środkowej partji nie podbije. Przeto środkowa partja obniży się, a końce podniosą się do góry, tak że jwi poaktad I. przedstawia doryc' korzystne stosunki. Jednaki w tym przypadku dorwają y_r i p_r znacznego powiększenia, a gdy się jeszcze kwazy że iwir podbity podera ruchu w miejscu niepodbite się usowa a przeto utrudania utrzymawanie toru w należytej wysokości, to się obare kartosowanie długiego i rtywnego poaktadu jedynie wtasiwe.

§. 21. Szywa jako belka ciąta na poddających się podporach.

Stosownie do przedstawienia w §. 1. rys. 2. szywa na wierzchni poprzecznej ugnie się pod obciążeniem o tyle, ile wynosi wgnębienie poaktadów w podłocie w punkcie dristawia pity. To wgnębienie wynosi podług wz. 27.

$y_r = \frac{KR}{E\delta} [\eta_s]$. Najwijnij litera v to wgnębienie y_r , któreby powstało pod dristawiem obciążenia $R=1$ (w kg) to podług wz. 27 i 8. wyznaczy się:

28. $\frac{y_r}{R} = v = \frac{K}{E\delta} [\eta_s] = \frac{1}{D}$

Dla dowolnego piczaru R jest zatem poddanie się poaktadu.

28. a. $y_r = R v$

Na podkładach ielarowych jest to poddanie się podkta-
du sryli wgtębieniu równe przedz ugięcia sryny. Inaczej
rzecz się przedstawia na podkładach drewnianych. Z po-
wodu ściśliwości materjatu drewnego, sryna obciążona
wgtębi się napród w podkład a potem razem z pod-
kładem w podłozie. Jeżeli v' oznacza wielkość ściśliwe-
nia podkładu pod ciężarem R-1, to aby otrzymsć u-
gięcie sryny, trzeba do wgtębienia podkładu v' dodać v'¹
Z doświadczeń Webera wynika, że średnio wynosi
ściśnienie podkładu 0,1 cm, jeżeli powierzchnia f, która
sryna spoczywa na podkładzie jest obciążona 7 kg
na 1 cm². Zatem z proporcji v': 1-01: 7f wyprowadz się:

$$29 \dots \dots \dots v' = \frac{1}{70f}$$

a ugięcie sryny nawierzchni drewnianej pod obciąż-
eniem R wynosić:

$$29a \dots \dots \dots y_k = R(v + v')$$

Gdy sryna spoczywa na płytce podkładowej, to
f = powierzchni spodu płytki.

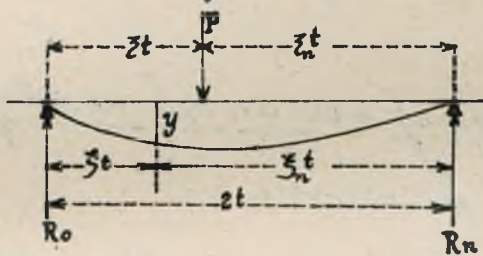
Sryna nawierzchni poprzecznej przedstawia się jako
belka ciągła utwierdzona na poddających się podporach,
a te poddania się są proporcjonalne do reakcyi R
działających na podkłady. Teoryz takiej belki można
ustawić albo wychodząc ze znanych prawami Clapeyrona,

albo też wychodząc z belki na dwóch końcach wolno podpartej. Ten drugi sposób przedstawimy następnie pokrótce (ob. rozprawę nr. 7.)

§. 22. Teoria belki ciągłej na poddających się podporach

Wziąwszy na uwagę belkę o długości $2t$ ułożoną na dwóch końcowych podporach i obciążoną ciężarem P .

Rys. 16.



o dowolnym przekroju i siły P od podpor wywarioną w częściach długości t , ratem ξ ξ_n , z i z_n są utankami.

W dowolnym punkcie belki, znajdującym się w odległości z od lewej podpory, powstanie rzędna ugięcia y , która dla nie poddających się podpor wywarci się wzorem:

$$y = P \frac{t^3}{12 \epsilon z} [z(8 - 6z + z^2) \xi - (2 - z) \xi^3]$$

W tym wzorze oznacz się ilości ϵ i T do rzędy.

Podstawmy $\frac{t^3}{12 \epsilon z} = W$ i uprościmy, to będzie:

30. $y = P W [z_n \xi (4 - z_n^2 - \xi^2)]$

a ugięcie y_n w punkcie działania siły:

30.a. $y_n = P \cdot W \cdot 2 z^2 z_n^2$

*) Kwadraty należy, że z ma tu inne znaczenie niż w poprzedzających paragrafach, omawiających najpierw chwiej podłuzina.

Oddziaływania podpór wynosi $R_0 = P \frac{\xi_n}{2}$, $R_n = P \frac{\xi}{2}$
 Jeżeli końcowe podpory się poddają, to według wzoru
 28. a. wymiennie poddanie się lewej podpory $R_0 v = P v \frac{\xi_n}{2}$,
 a prawej podpory $R_n v = P v \frac{\xi}{2}$. W tych względności przy-
 padają dodatki do powyższych redukcji, mianowicie:
 $P \frac{v}{4} [\xi \xi + \xi_n \xi_n]$ dla y według wz. 30, zaś $P \frac{v}{4} [\xi^2 + \xi_n^2]$ dla
 y_p według wzoru 30 a. Podstawimy jeszcze
 31. $\frac{v}{w} = \alpha$

to przednie ugięcia belki utworzonej na dwóch poddają-
 cych się podporach wyraża się wzorami:

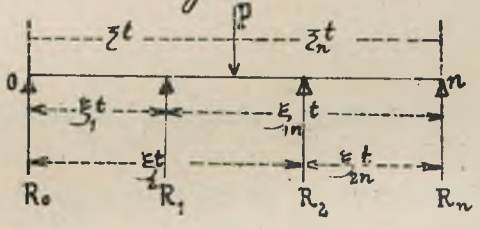
32. a. $y_{\xi} = P w [\xi \xi_n (4 - \xi^2 - \xi_n^2) + \frac{\alpha}{4} (\xi \xi + \xi_n \xi_n)]$ dla punktu
 ξ po lewej stronie siły P .

32. b. $y_{\xi} = P w [2 \xi^2 \xi_n^2 + \frac{\alpha}{4} (\xi^2 + \xi_n^2)]$ dla punktu oddzia-
 lania siły P znajdujemy, gdy w wzorze na y_{ξ} zamiast
 ξ i ξ_n , jakoteż ξ i ξ_n .

Wewnętrzne podpory wywierają oddziaływanie
 odwrotnie do siły P skierowane, jednakże ich wpływ
 na ugięcie belki wyraża się tymi samymi nawia-
 saniem wzoru 32, tylko ze znakiem ujemnym i po wpro-
 wadzeniu w ξ i ξ_n odstępów tych podpór wewnętrznych
 od podpór końcowych. Wpływy sił P i wszelkich
 oddziaływań wewnętrznych na ugięcie danego punktu

resumowanych algebraicznie, nadają całkowi, redukującia tego punktu. Jeżeli ten punkt jest podporą, to ta sumaryczna reduka musi się równać R.V (podług wzoru 28.a.)

Zastanujmy to dla dwóch wewnętrznych podpór [rys. 17]. Jeżeli następnie wyte nawiaz mają, dla skrócenia przedstawiać nawiaz



wzoru 32., to ugięcie podparcy 1. jako suma wpływów sił P, R1 i R2 otrzymana formą:

33.a. $R_1 v = P w \{ z^t, z_n^t \} - R_1 w \{ \xi_1, \xi_{1n} \} - R_2 w \{ \xi_{2n}, \xi_{1n} \}$

zaś ugięcie podparcy 2.:

33.b. $R_2 v = P w \{ z^t, z_n^t \} - R_1 w \{ \xi_1, \xi_2 \} - R_2 w \{ \xi_2, \xi_{2n} \}$

Z tych dwóch równań można wyznaczyć obie niewiadome R1 i R2, zaś równania równowagi sił postawić do wyznaczenia skrajnych oddziaływań R0 i Rn. Znajac uaresnie oddziaływania można obrachować momenta, ugięcia i ciśnienia p. Podobnie jak powyżej dla dwóch można dla dowolnej liczby wewnętrznych podpór ustawić tyle równań, ile jest podpór wewnętrznych, a z tych równań wyznaczyć niewiadome wewnętrzne oddziaływania.

Tak nawierzchni poprzecznej można by podobnie

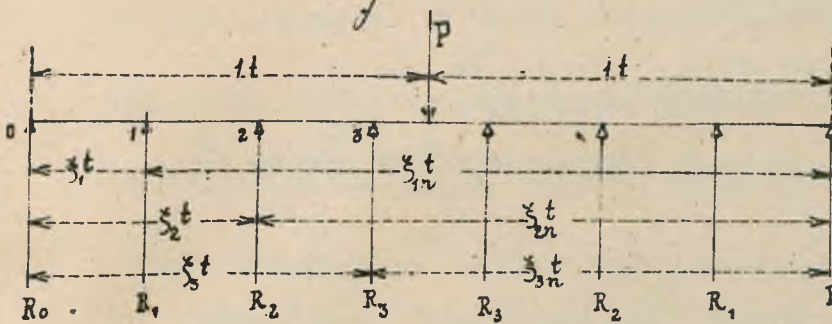
jak tok nawierchui podłuznej uwarai' jako pret niekoniecnie dlugi, jednakże dotychczas nie udało się ustawić teoryi takiego pretu, utworzonego na poddających się podporach. Przyjmuje się więc pret o takiej dlugosci i utworony na tylu podporach, aby wyniki teoryi były dostatecznie dokladne. Rachunki porównawcze i doswiadczenia wykazaly co nastepuje: (podlug rozpraw 1. i 3.):

Przebieg linii ugięcia szyny nawierchui poprzecznej jest podobny do toku nawierchui podłuznej, z czego wynika, że wpływ dalszych podpór na przebieg ugięcia pod ciężarem jest znikomy. Dla pobieżnych rachunków wystarczy przyjąć utworzenie pretu na trzech lub czterech podporach, — zaś zupełnie dostatecznie, do dokładności wynika się, jeżeli się przyjmie pret utworony na siedmiu lub ośmiu podporach.

§. 23. Szyna utworona na ośmiu względem środka symetrycznie rozłożonych podkładach i obciążona w środku ciężarem P. Największy moment ugięcia.

Ten przypadek jest przedstawiony na rys 18. Z powodu symetrycznego układu podpór jest tylko trzy wewnętrznych oddziaływań do wyznaczenia, zatem mamy ustawić trzy równania, do których dojdziemy

Rys. 18.



ciągłą, ułożą.

Wierimy, napród pod

uwagą, podpore 1 i

oddziaływanie R_1 .

Wpływ siły P na

to podpore znajdziemy podług wz. 32. a. gdy weń wsta-

wimy ξ_1 za ξ a $\xi = \xi_n = 1$.

34. $Pw[\xi_1(3-\xi_1^2) + \frac{\alpha}{2}] = \frac{1}{2} Pw(\bar{\xi}_1 + \alpha)$ gdy oznaczymy

34. a. $\bar{\xi}_1 = 2\xi_1(3-\xi_1^2)$ lub ogólnie $\bar{\xi}_m = 2\xi_m(3-\xi_m^2)$

jako wpływ siły P na podpore w .

Podług wzoru 32. b. znajdzie się wpływ lewego oddziały-

wania R_1 na punkt 1, gdy się podstawią $\xi = \xi_1$, $\xi_n = \xi_{1n}$

[ob. rys. 18.] a R_1 za P , a charakterem zmienić znak:

$$- R_1 w [2\xi_1^2 \xi_{1n}^2 + \frac{\alpha}{4}(\xi_1^2 + \xi_{1n}^2)]$$

Podług wz. 32. a. znajdzie się wpływ prawego oddziały-

wania R_1 na punkt 1, gdy się wstawią:

$$\xi_1, \xi_{1n} \text{ za } \xi, \xi_n, \xi_m \text{ za } \xi, \xi \text{ za } \xi_n \text{ a } -R_1 \text{ za } P: -R_1 w [2\xi_1^2(3-\xi_1^2) + \frac{\alpha}{2}\xi_1 \xi_{1n}]$$

Wpływ prawy R_1 na punkt 1 będzie sumą dwóch ostat-

nich równań.

35. $-R_1 w [4\xi_1^2(3-2\xi_1^2) + \alpha] = -R_1 w(\xi_1 + \alpha)$ gdy

35. a. $\xi_1 = 4\xi_1^2(3-2\xi_1^2)$ lub ogólnie $\xi_m = 4\xi_m^2(3-2\xi_m^2)$

Podobnie znajdzie się wpływ lewej siły R_2 na punkt 1.:

$$-R_2 w[\xi_1 \xi_{2n} (4 - \xi_1^2 - \xi_{2n}^2) + \frac{d}{4} (\xi_1 \xi_2 + \xi_{1n} \xi_{2n})]$$

i prawej sily R_2 na punkt 1.:

$$-R_2 w[\xi_1 \xi_2 (4 - \xi_1^2 - \xi_2^2) + \frac{d}{4} (\xi_1 \xi_{2n} + \xi_{1n} \xi_2)].$$

Suma obydwu równań da nam wpływ pary R_2 na punkt 1:

$$36. \dots \dots \dots -R_2 w\{2\xi_1 [3\xi_2(2-\xi_2) - \xi_1^2] + \alpha\} = -R_2 w(S_{21} + \alpha) \text{ gdy}$$

$$36. a. \dots \dots \dots S_{21} = 2\xi_1 [3\xi_2(2-\xi_2) - \xi_1^2]$$

Na podstawie prawa odwrotności ma taki sam wpływ para R_1 na punkt 2 zatem:

$$37. \dots \dots \dots S_{21} = S_{12} \text{ lub ogólnie } S_{mn} = S_{nm}$$

Jeżeli w powyższy sposób zastawimy wpływy sily P i wszystkich par oddziaływań na jedną podporę i zsumujemy je to suma musi się równać poddaaniu się, sily na tej podporze określonego wz. 28 a.

Takie równania możemy ustawić dla podpór 1. 2. i 3.

$$\text{Podpora 1: } R_1 v = \frac{1}{2} P w(\pi_1 + \alpha) - R_1 w(S_1 + \alpha) - R_2 w(S_{12} + \alpha) - R_3 w(S_{13} + \alpha)$$

$$" \quad 2: R_2 v = \frac{1}{2} P w(\pi_2 + \frac{\alpha}{2}) - R_1 w(S_{12} + \alpha) - R_2 w(S_2 + \alpha) - R_3 w(S_{23} + \alpha)$$

$$" \quad 3: R_3 v = \frac{1}{2} P w(\pi_3 + \frac{\alpha}{2}) - R_1 w(S_{13} + \alpha) - R_2 w(S_{23} + \alpha) - R_3 w(S_3 + \alpha)$$

Jeżeli te równania podzielimy przez w i uwzględnimy że $\frac{v}{w} = \alpha$ (podług wz. 31.) to otrzymamy:

$$R_1(S_1 + 2\alpha) + R_2(S_{12} + \alpha) + R_3(S_{13} + \alpha) - \frac{1}{2} P(\pi_1 + \alpha) = 0$$

$$R_1(S_{12} + \alpha) + R_2(S_2 + 2\alpha) + R_3(S_{23} + \alpha) - \frac{1}{2} P(\pi_2 + \alpha) = 0$$

$$R_1(S_{13} + \alpha) + R_2(S_{23} + \alpha) + R_3(S_3 + 2\alpha) - \frac{1}{2} P(\pi_3 + \alpha) = 0$$

Prawo tworzenia tych równań jest bardzo łatwe do rozpoznania. Z tych trzech równań wyznaczymy razem, wyznaczników trzy niewiadome wewnętrzne oddziaływania R_1, R_2, R_3 zaś $R_0 = \frac{P}{2} - R_1 - R_2 - R_3$.

Dla dalszych celów przyjmujemy, że odstęp podkadów są jednakowe, równe a . Wtedy $t = \frac{7}{2}a$ zaś $w = \frac{t^3}{12\varepsilon J} = \frac{7^3 a^3}{2^3 6\varepsilon J}$

Wprowadzimy jeszcze:

$$38 \dots u = \frac{a^3}{6\varepsilon J}, \text{ zaś } y = \frac{v}{u} = \frac{6\varepsilon J v}{a^3}, \text{ to } w = \frac{7^3 v}{2^3 y} \text{ zaś } a = \frac{v}{7^3 y}$$

W warze dla y odnosi się ε i J do siebie. Dla uwarunków utwierdzonej na drewnianych podkadach należy za v wprowadzić $v + v''$ (wz. 29 i 29 a.)

Po wprowadzeniu tych wartości w powyższe trzy równania i po ich rozwiązaniu, dojdziemy ostatecznie do następujących wyników:

$$\text{Wspólny mianownik } N = 8[71 + 330y + 194y^2 + 4y^3]$$

$$\text{Licznik dla } R_0: P[-3 + 57y - 138y^2 + 4y^3]$$

$$\text{" " } R_1: P[18 - 231y + 110y^2 + 4y^3]$$

$$\text{" " } R_2: P[-72 + 199y + 330y^2 + 4y^3]$$

$$\text{" " } R_3: P[341 + 1295y + 474y^2 + 4y^3]$$

Moment w punkcie działania ciężaru:

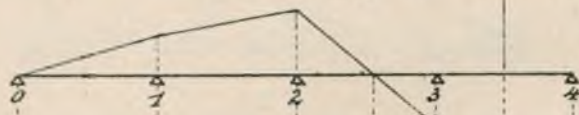
$$M_0 = a \left(\frac{7}{2} R_0 + \frac{5}{2} R_1 + \frac{1}{2} R_2 + \frac{1}{2} R_3 \right)$$

a po wstawieniu wartości za R :

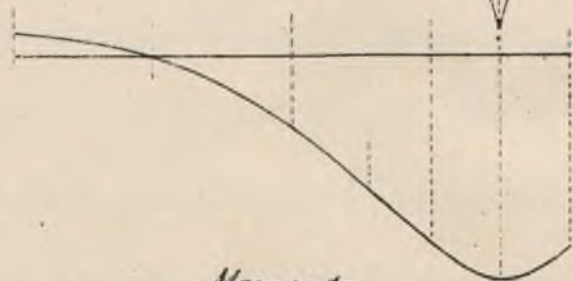
$$\text{Licznik dla } M_0: Pa[97 + 568y + 524y^2 + 32y^3]$$

Wykresy
dłaj. 25; $\alpha = 90^\circ$ cm.

Rys. 18a. Momenta.
1 cm = 50000 kgcm. P = 7000 kg

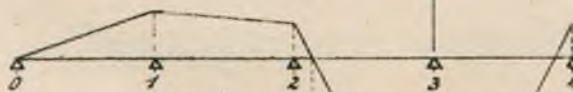


Linia ugięcia.
5. krotna nat. w.

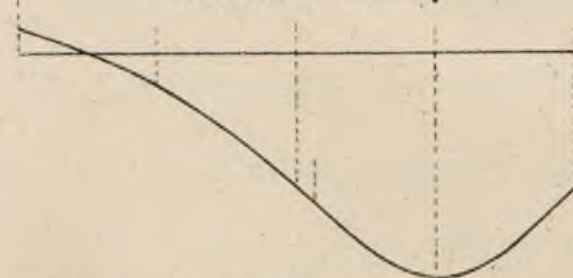


Wykreślić przy użyciu
dłówna

Momenta.
1 cm = 50000 kgcm. P = 7000 kg



Linia ugięcia
5. krotna nat. w.



Skł. 1 cm = 50 cm.

Mozna także momenty na podporach obrać, a wtedy wykres momentów bardzo łatwy, np.

$$M_2 = a(2R_0 + R_1).$$

Podług tych wzorów obrać należy tabelę dla γ w granicach od 0 do 50. Podług tabeli wykreślono zależność, tablicę II. W celu otrzymania oddziaływań trzeba obrać γ , a dla tej wartości odczytać wartość na odpowiedniej linii $[m]$ która pomnożona przez P da oddziaływanie. Przed linią $[m_0]$ ma być przez P_0 pomnożona w celu otrzymania momentu M_0 .

Nie pominiemy obrać oddziaływań i momentów M_0 nie trudno wykonać wykres linii momentów (rys 18a)

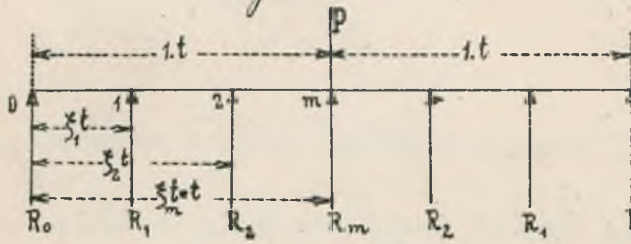
Moment M_0 jest największym momentem dla obciążenia jednym ciężarem. Podług tego momentu obrać się wyczeranie szyny $\sigma = \frac{M_0 c}{J}$.

Z wykreślonej linii momentów można równym sposobem wykonać wykres linii ugięcia szyny (rys 18a)

§.24. Szyna ułożona na siedmiu względem środka symetrycznie rozłożonych podkładach. Największe ciśnienie na podkład.

W celu uzyskania największego ciśnienia na podkład powinien ciężar P przysiadować się nad środkowym podkładem, stąd wypada nieparzysta liczba podkładów

Rys. 19.



Do znanych już z poprzedniego paragrafu wpływów par oddziaływań i wpływów siły P na dowolną podporę, przechodzi tu

wpływ siły P na środkową podporę. Otrzymujemy go z równania 32. b, gdy podstawimy $\xi = \xi_n = 1$:

$$39 \dots P \omega \left(2 + \frac{\alpha}{2}\right) = \frac{1}{2} P \omega (\bar{\xi}_m + \alpha), \text{ gdy } \bar{\xi}_m = 4 \text{ (wg. 34a. dla } \xi_m = 1.)$$

Wpływ oddziaływania R_m na środkową podporę przedstawia się podobnie jako $-\frac{1}{2} R_m \omega (\bar{\xi}_m + \alpha)$

Wpływ pary oddziaływań na środkową podporę wyrazi się np. dla pary R_2 takim samym wzorem, jak siły P na podporę 2.; gdy się $-R_2$ za $\frac{1}{2} P$ podstawią w wzorze 34.:

$$-2R_2 \omega \left[\xi_2 \left(3 - \xi_2^2\right) + \frac{\alpha}{2}\right] = -R_2 \omega (\bar{\xi}_2 + \alpha)$$

To poprzedniwszy możemy dla każdej podpory wewnętrznej ustawić równanie jej wgiętkienia:

$$\text{Podpora 1.: } R_1 \omega = \frac{1}{2} (P - R_m) \omega (\bar{\xi}_1 + \alpha) - R_1 \omega (\xi_1 + \alpha) - R_2 \omega (\xi_{12} + \alpha)$$

$$\text{" 2.: } R_2 \omega = \frac{1}{2} (P - R_m) \omega (\bar{\xi}_2 + \alpha) - R_1 \omega (\xi_{12} + \alpha) - R_2 \omega (\xi_2 + \alpha)$$

$$\text{" m.: } R_m \omega = \frac{1}{2} (P - R_m) \omega (\bar{\xi}_m + \alpha) - R_1 \omega (\xi_1 + \alpha) - R_2 \omega (\xi_2 + \alpha)$$

Te równania podzielną przez ω i uporządkowane:

$$R_1 (\xi_1 + 2\alpha) + R_2 (\xi_{12} + \alpha) - \frac{1}{2} (P - R_m) (\bar{\xi}_1 + \alpha) = 0$$

$$R_1 (\xi_{12} + \alpha) + R_2 (\xi_2 + 2\alpha) - \frac{1}{2} (P - R_m) (\bar{\xi}_2 + \alpha) = 0$$

$$R_1 (\xi_1 + \alpha) + R_2 (\xi_2 + \alpha) - \frac{1}{2} (P - R_m) (\bar{\xi}_m + 3\alpha) = 0$$

Zapomocą wyznaczników można z tych równań
wyznaczyć niewiadome R_1, R_2 i R_m .

Jżeli i w tym przypadku przyjmujemy jednakowe
odstępki podkładów, równie a to $t = 3a$, $w = \frac{t^3}{12\varepsilon\gamma} = \frac{27a^3}{12\varepsilon\gamma}$
Jżeli jak poprzednio w wz. 38. jest $u = \frac{a^3}{6\varepsilon\gamma}$, $y = \frac{6\varepsilon\gamma v}{a^3}$,
to $w = \frac{27a^3}{2\gamma}$; zaś $\alpha = \frac{v}{w} = \frac{2}{27}\gamma$. Uwaga podana po wz. 38.,
odnosząca się do ε, γ, v , ma i tu zastosowanie.

Co wprowadzimy, otrzymamy się, oczywiście

Najpóźny mianownik: $N = 26 + 193y + 196y^2 + 7y^3$

Licznik: $R_0 : \dots P\gamma[3 - 18y + y^2]$

" $R_1 : \dots P\gamma[-18 + 23y + y^2]$

" $R_2 : \dots P\gamma[46 + 57y + y^2]$

" $P - R_m : \dots P\gamma[62 + 124y + 6y^2]$

" $R_m : \dots P[26 + 131y + 72y^2 + y^3]$

" $M_0 : \dots P\alpha\gamma[19 + 49y + 6y^2]$

Dla $y = 0$ (nie poddające się podpory) są wszystkie
 $R = 0$, z wyjątkiem $R_m = P$. Takie uważam $M_0 = 0$.

Dla różnych wartości y obrachowano tablice, a
podług niej wykonano wykres na cataronij tablicy III.,
której rysunek jest analogiczny, jak tabl. II. — R_m jestto największe
ciśnienie jakie przy działaniu jednego ciśn. P na podkład się
powstanie. Tem ciśnieniem powodowane największe wgnięcie
podkładu pod rywą, jest $y_2 = R_m \cdot v$, zaś największe ciśnienie
jednostkowe na podłożu jest $p_2 = C \cdot R_m \cdot v$. To R_m wyprowadzi się również

do obrachowania podkładu podług §. 19. nr. 26 i 27.

Uwaga. Moment M_0 podług §. 23. i ciśnienie R_m podług §. 24. dornaja, znacznego powiększenia, jeżeli podkłady najbliższ. cieżarów P lub pod cieżarow₃ się znajdujące nie są materycie podbite. (Ob. porprawę 7. pod VIII. przykład 6.)

§. 25. Wpływ kilku cieżarów na moment M_0 i ciśnienie R_m .

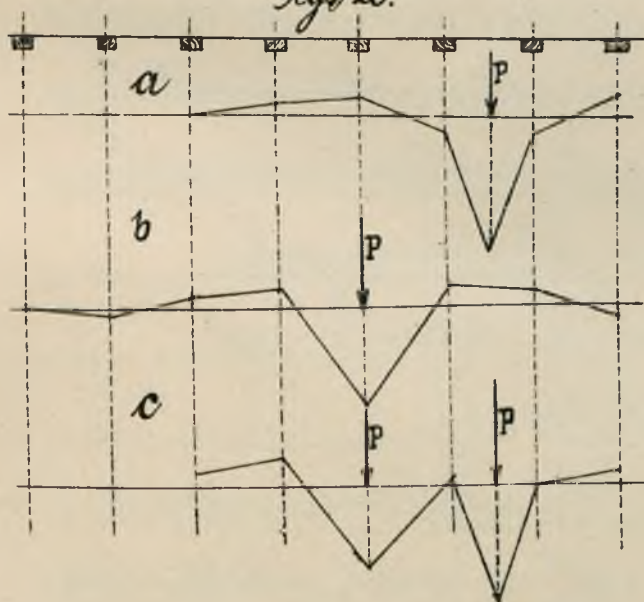
Wzory otrzymane w §§. 23 i 24. dla wpływu jednego cieżaru mogą wyżyć dla obrachowania nawierchui, jeżeli się porchodzi o porównanie wytrzymałości dwóch różnych nawierchui. Jeżeli się zaś porchodzi o wyznaczenie największych materyci, jakich dornaje nawierch. nia pod wpływem sił pionowych, to trzeba wprowadzić do obrachowania łokomotywar₃ najniekorzystniejszą działającą na nawierchuię.

Jeżeli się uwaria nawierchuię poprzeczną jako belkę ułożoną tylko na kilku podporach, to sumowanie wpływów poszczególnych cieżarów, podobnie jak powiadano w §. 8. dla nawierchui podłużnej, — nie jest dopuszczalne. Niemoto wykonuje się takie sumowanie także dla nawierchui poprzecznej, gdyż jak porównawcze rachunki z dokładniejszem postępowaniem wykazały, różnice są praktycznie dopuszczalne (Ob. porprawę 7. pod nr. VIII.). Przy takim sumowaniu rachodzi jednakże pewna trudność.

Oto tabl. I. i II. są restawione tylko dla tych dwóch przypadków, gdy ciężar znajduje się albo w środku między dwoma podkładami, albo nad podkładem.

Z tego wynika, że sumowanie wpływów porządkowych ciężarów może tylko w takim razie nastąpić, jeżeli rozstawy ci są tak dostosowane do odstępów podkładów, że ciężary wypadają albo nad podkładami albo w środku między podkładami.

W celu sumowania momentów, trzeba linie momentów wykreslic' rapowocą oddziaływań na podkłady, potem wykresy umieścić jeden pod drugim w układzie względem położenia i wtedy algebraicznie zesumować. Powiedzmy, że dwa jednakowe ciężary P mają odstęp równy półorahrobnemu odstępowi podkładów, to jeden ciężar wypadnie między podkładami a drugi nad podkładem. Dla pierwszego jest



wykonywany wykres 20.a, dla drugiego 20.b, wreszcie suma jest przedstawiona na 20.c. Ten ostatni wykres okazuje sumiejsze nie największego momentu wobec wykresu a.

dla jednego ciężaru. - Z badań prowadzonych dla różnych wartości γ wynika, że momenta wywołane dwoma lub trzema ciężarami są zawsze mniejsze niż dla jednego ciężaru, jeżeli rozstaw osi przekracza $1.2a$, a ponieważ rozstawy osi są zawsze większe niż ta wartość, to z tego wynika, że kilka ciężarów wywiera mniejszy moment niż jeden ciężar. Podobne stosunki znaleźliśmy dla nawierzchni podłużnej. -

Co do ciśnienia R_m , to badania wykazują, że są one dla kilku ciężarów większe niż dla jednego, jeżeli rozstawy osi nie przekraczają $2a$ (dla małych γ) do $2.8a$ (dla wielkich γ) to znaczy, że największa pręci lokomotyw ciężarowych i próbnych, jakoteż niektóre lokomotywy pociągowe obciążają podtorze niekorzystniej niż jeden ciężar. Tutaj znajdujemy podobne stosunki jak na nawierzchni podłużnej.

§. 26. Przykład obliczenia wytrzymałości nawierzchni poprzecznej pod wpływem sił pionowych.

Dane dla szyny: $J = 800 \text{ cm}^4$, $\bar{z} = 130 \text{ cm}$, $E = 2 \cdot 10^6$

Następnie jest $C = 3$ ras' $P = 7000 \text{ kg}$.

1. Nawierzchnia ielazna. Na podkładu dane:

$J_n = 250 \text{ cm}^4$, $\frac{J_n}{\bar{z}} = 50 \text{ cm}^3$, $E = 2 \cdot 10^6$, $a = 90 \text{ cm}$, odstęp środ-

kół rybn $2r = 150\text{cm}$, $b = 25\text{cm}$, $2l = 240\text{cm}$.

Obliczamy więc naprężenie K dla podkładu z wr. 9.

$K = \sqrt[4]{\frac{E_b}{4e_3}} = \sqrt[4]{\frac{3 \cdot 25}{4 \cdot 2 \cdot 10^6 \cdot 250}} = 0.014$. Dla tej wartości jest $\zeta = Kz = 75 \cdot 0.014 = 1.05$ a $\delta = Kl = 120 \cdot 0.014 = 1.7$. Według tych wartości znajdujemy się w tabelce [4], biorąc średnia z kłęb pod $\zeta = 1.00$ i pod $\zeta = 1.10$ podanych. $[u_2] = 0.6505$. Wstawiamy tę wartość w wzór 28. a otrzymujemy $v = \frac{K}{E_b} [u_2] = \frac{0.014 \cdot 0.6505}{3 \cdot 25} = 0.00012$.

Na podstawie tej wartości obliczamy wytrzymałość rygny. W tym celu obliczamy podł. wr. 38.

$f = \frac{6 \cdot 2 \cdot 10^6 \cdot 0.00012}{90^3} = 1.58$. Dla tej wartości f znajdujemy na tabl. II. średnia momentu (na krzywej $M_0/0.277$, ratem moment $M_0 = Pa \cdot 0.277 = 7000 \cdot 90 \cdot 0.277 = 174510 \text{ kgem}$, a natężenie rygny $\underline{\sigma} = \frac{174510}{130} = 1343 \text{ kgem}^2$.

Dla tej samej wartości f odczytamy na tabl. III. średnia krzywej $R_m = 0.492$ ratem największe ciśnienie na podkład: $R_m = 7000 \cdot 0.492 = 3444 \text{ kg}$. Tę wartość wstawiamy w wr. 27, w celu obliczenia ugięcia i natężenia podkładu. Na powyższych wartości ζ i δ odczytamy na tabelce $[u_1] = 0.6985$, $[u_2] = 0.3394$, zaś przeciętnie najmniej $[u_3] = 0.6505$.

Skorzystamy teraz z obliczeń podług wr. 27 największy moment działający na podkład:

$$M_x = \frac{R_m}{2x} [\mu_s] = \frac{3444 \cdot 0.3394}{2 \cdot 0.014} = 41746 \text{ kgem.}$$

$$\text{Naciekienie podkladu } G_2 = \frac{M_x e}{I_p} = \frac{41746}{50} = \underline{\underline{835}} \text{ kg/em}^2$$

$$\text{Nastepnie jest } y_x = \frac{K R_m}{c.b.} [\eta_s] = \frac{0.014 \cdot 3444 \cdot 0.6505}{3 \cdot 25} = 0.42 \text{ cm}$$

$$\text{zas' } y_s = \frac{K \cdot R_m}{c.b.} [\eta_s] = \frac{0.014 \cdot 3444 \cdot 0.6985}{3 \cdot 25} = 0.45 \text{ cm,}$$

zatem wgtobienie na koncu podkladu jest wieksze niz pod ciekarem.

Naruzcie ciemienie na ruzir pod ciekarem $p_x = c y_x = 1.26 \text{ kg/em}^2$

a na koncu podkladu $p_x = c y_x = 1.35 \text{ kg/em}^2$

2. Nawierzchnia drewniana. Dano dla podkladu:

$$I_p = 6000 \text{ em}^4, \text{ grubosc} = 15 \text{ em, wiec } \frac{I_p}{e} = \frac{6000}{7.5} = 800 \text{ em}^3$$

$$E = 120000 \text{ kg/em}, \quad b = 25 \text{ em}, \quad a = 90 \text{ em}, \quad 2r = 150 \text{ em}, \quad 2b = 240 \text{ em.}$$

Tok rachunku jest takim jak poprzednio.

$$K = \sqrt[4]{\frac{3 \cdot 25}{4 \cdot 120000 \cdot 6000}} = 0.0127, \text{ zatem } S = 75 \cdot 0.0127 = 0.95,$$

$$S = 120 \cdot 0.0127 = 1.52. \text{ - Dla tych wartosci jest podlug}$$

$$\text{tabeli } [\eta_s] = 0.7139, \text{ a } v = \frac{0.0127 \cdot 0.7139}{3 \cdot 25} = 0.00012.$$

Podlug 5.21 mamy dla drewnianego podkladu zwiakszye' to v o v' z wr. 29. Olo'i gdy glowna przekro'e' podkladu wynosi 15 em, a stopka szyny 11 em, to

$$f = 11 \times 15 = 165 \text{ em}^2, \text{ a wtedy } v' = 1.70 \cdot 165 = 0.00009, \text{ zatem}$$

$$v = 0.00012 + 0.00009 = 0.00021.$$

$$\text{Nastepnie } j = \frac{6.2 \cdot 10^6 \cdot 800 \cdot 0.00021}{90^3} = 2.76. \text{ Dla tej wartosci}$$

odczytamy na tabl. II. srednia momentu 0.31, wiec

$$M_0 = 7000 \cdot 90 \cdot 0.31 = 195,300 \text{ kgem, a naciekienie szyny:}$$

$$\underline{\underline{G}} = \frac{195300}{130} = 1502 \text{ kg/em}^2.$$

$\frac{1}{2}$ tabl. III. odczyta się 0.434 jako średnia krzywizny R_m ,
zatem $R_m = 7000 \cdot 0.434 = 3038 \text{ kg}$.

Dla powyższych ξ i δ największymy e tabeli $[\eta_s] = 0.7805$,
 $[\eta_g] = 0.2456$. Zatem $M_r = \frac{3038 \cdot 0.2456}{2 \cdot 0.0127} = 29375 \text{ kgem}$.

$$\text{zas } \sigma_x = \frac{29375}{800} = 37 \text{ kg/cm}^2, \quad \eta_x = \frac{0.0127 \cdot 3626 \cdot 0.7139}{3 \cdot 25} = 0.37 \text{ cm}$$

$\eta_l = \frac{0.0127 \cdot 3626 \cdot 0.7805}{3 \cdot 25} = 0.40 \text{ cm}$, zatem wgłębienie
krawca jest większe niż pod ryzną. Według tej
większej wartości obrachuje się ciśnienie na podłożu

$$p_x = 3 \cdot 0.40 = 1.20 \text{ kg/cm}^2, \quad \text{zas } p_x = 1.11 \text{ kg/cm}^2$$

§.27. Nawierzchnia poprzeczna pod wpływem sił poziomych.

Powołując się na wz. 22 (w §.16) co do wielkości
siły poziomej H rozpatrzmy jej działanie na pod-
kład i ryzę.

a. Podkład. Na podkład działa siła H w ten
sam sposób jak na poprzeczkę nawierzchni podłu-
żnej (ob. §.17), więc jako ciągnięcie i momentem,
który się wyrazi wzorem $M_1 = H(h_1 + e_2)$ rys.21.

Ten moment przenosi się wprawdzie po całej na-
siadnie podkładu, jednakże dla pewności przy-
jmijmy że, jeden podkład musi mu stawić opór.
(ob. rys. 21). Jeżeli F oznacza przekrój poprzeczny
podkładu, to według §.17. wywnosi ciśnienie prze-
kroju na ciągnięcie $\frac{H}{F}$. Co do momentu, to wobec

tego, że podkład jest całkowicie iwirem podkity,
 spowoduje on skreccenie podkladu w ptawczywie
 prostopadly do osi tom, przeco w jednej potowie
 nastapi zwikroenie, w drugiej zaś zmniejszenie ciśni-
 nia p na podłoe. Ponieważ rozkład ciśnienia p
 na jednostkę powierzchni, lub $p \cdot b$ na jednostkę
 długości występuje w trójkacie, zatem ich obu-
 stowna wypadkowa R ma od środka pod-
 kładu odstęp $\frac{2}{3}l$. Oddziaływania R muszą być
 tak wielkie, żeby moment pary sił przez nie utwo-
 rzonych równał się momentowi M , siły równo-
 trznej H , zatem

$$R \cdot \frac{4}{3}l = H(h_1 + e_2) \text{ stąd } R = \frac{3H(h_1 + e_2)}{4l}$$

Jeżeli ciśnienie na końcach podkładów ozna-
 czymy przez p_1 , to $R = p_1 b \frac{2}{3}l = \frac{1}{2} p_1 b l$, a gdy ten
 wyraz wstawimy w powyższy za R , to wyznaczymy

40. $p_1 = \frac{3H(h_1 + e_2)}{2 \cdot b \cdot l^2}$

Pod przynę, wyznaczenie ciśnienia:

41. $p_2 = \frac{r}{l} p_1$

Otoż p_1 jest to zwiększenie ciśnienia p_1 (ob. wz. 37)
 p_2 zwiększenie ciśnienia p_2 , zaś $\frac{r}{e}$ i $\frac{r_2}{e}$ są to

zwiększenia wyłębieniu y_x i y_n .

Oprócz tego zwiększenia ciśnieniami na podłożu nie wywołuje moment M_1 materiału w podkładzie. Natomiast partya występująca poza szyną, która jest na długości u narazona na zgięcie przez ciśnienia p . Jeżeli średnią wartość tych ciśnień narazimy p_3 , to $p_3 = \frac{l - \frac{u}{2}}{l} p_1 = \frac{2l - u}{2l} p_1$ a moment wywołany w punkcie A wynosi w przybliżeniu:

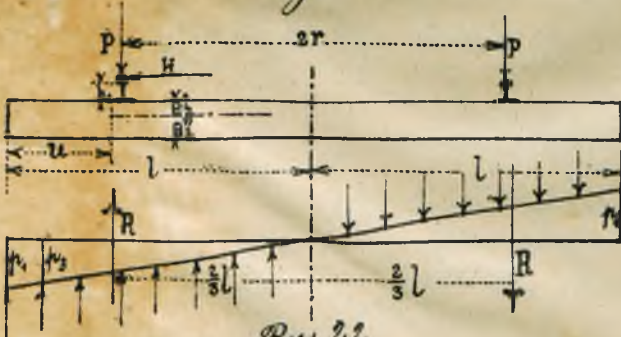
$$42. \dots \dots M_2 = b p_3 \frac{u^2}{2} = \frac{b(2l - u)u^2}{4l} p_1$$

Natężenie w podkładzie wyniesie zatem:

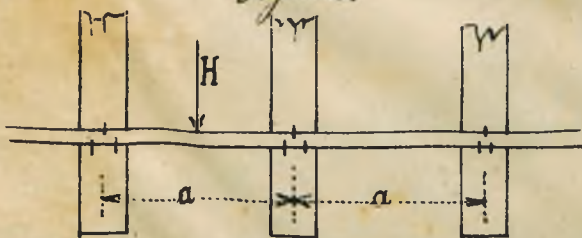
$$42a. \dots \dots \sigma_2 = \frac{H}{2F} + \frac{M_2 \cdot e_2''}{I_p}$$

i większy natężenie spowodowane momentem

Rys. 21.



Rys. 22.



M_x z wr. 27. To zwiększenie jest jednak tak małe, że je nie warto uwzględniać (ob. przykład.)

b. Szyna z rys. 22. widac, że szyna przedstawia belkę ciągłą na niekończącym się

(rys. 21) - proporcjonalnie tak, ale po podłożu szyn nie będzie możliwe.

wielu podporach, które stanowią łaczniiki przy-
twierdzające rynek do punktadów, a obciążona,
jedną siłą H . Jeżeli podpory ^{nie} poddają, to P
z wz. 38. równa się zero, a wtedy punkt §. 23.
jest, gdy a P wstawimy H , $M_0 = \frac{97}{568} H a = 0.171 H a$ *)
Jednakże nie można na to liczyć, że się podpory
rzeczywiście nie poddadzą, dlatego zwiększymy ten
moment na

43. $M_3 = 0.2 H a$

Natężenie wywołane tym momentem wyrazi się:

44. $\tau_3 = \frac{M_3 e}{J}$

W tym wzorze odnosi się e i J do pionowej
osi obojętnej przekroju rynek. τ_3 obrachuje się dla
stoski rynek i sumuje z natężeniem wywołane
przez punkt §. 23.

§. 28. Przykład obrachowania wytrzymałości
nawierzchni poprzecznej pod działaniem
sił poziomych.

Rynek i punktady obieramy takie same co w przy-
kładzie §. 26. Dla ciężkości 80 kg/godz. jest
 $H = 0.24 P = 1680 \text{ kg.}$

1. Punktad nawierzchni jełarnej.

Powierzchnia przekroju $F = 33 \text{ cm}^2$, $e_1 = 3 \text{ cm}$, $e_2 = 5 \text{ cm}$

*) Tak same wartości obrzywał Winkla dla rynek ułożonej na kierunku osieci
wielu punktadach.

$h_1 = 8 \text{ cm}$. Materie podkladu na ciagnienie wynosi

$$\frac{H}{2F} = \frac{1680}{66} = 25.5 \text{ kg/cm}^2. \text{ Z wzoru 40 i 41. obrachuje sie}$$

$$p_1 = \frac{3 \cdot 1680(8+3)}{2 \cdot 25 \cdot 120^2} = 0.08 \text{ kg/cm}^2, y_1 = \frac{0.08}{3} = 0.03 \text{ cm}$$

$$p_2 = \frac{75}{120} 0.08 = 0.05 \text{ kg/cm}^2, y_2 = \frac{0.05}{3} = 0.02 \text{ cm}$$

Z wz. 42., gdy $\mu = 39.5 \text{ cm}$:

$$M_2 = \frac{25(240-39.5)39.5^2}{4 \cdot 120} \cdot 0.08 = 1303 \text{ kgem.}$$

$$\frac{M_2}{e} \text{ wynosi } 50 \text{ cm}^3, \text{ zatem } \sigma_2 = \frac{1303}{50} = 26 \text{ kg/cm}^2$$

2. Poklad nawierzchni drewnianej.

Powierzchnia przekroju $F = 350 \text{ cm}^2$, $e_1' = 7$, $e_2' = 8 \text{ cm}$

$h_1 = 8 \text{ cm}$, Materie przekroju na ciagnienie

wynosi $\frac{1680}{700} = 2.4 \text{ kg/cm}^2$

$$p_1 = \frac{3 \cdot 1680(7+8)}{3 \cdot 25 \cdot 120^2} = 0.11 \text{ kg/cm}^2, y_1 = \frac{0.11}{3} = 0.04 \text{ cm}$$

$$p_2 = \frac{75}{120} 0.11 = 0.07 \text{ kg/cm}^2, y_2 = \frac{0.07}{3} = 0.02 \text{ cm}$$

$$M_2 = \frac{25(240-39.5)39.5^2}{4 \cdot 120} \cdot 0.11 = 1792 \text{ kgem}$$

$$\sigma_2 = \frac{1792}{800} = 2.2 \text{ kg/cm}^2$$

3. Szyba. Z wz. 43.: $M_3 = 0.2 H a = 0.2 \cdot 1680 \cdot 90 = 30240 \text{ kgem.}$

Wielki moment bezwladnosci przekroju szyny
względem pionowej osi wynosi 200 cm^4 , zaś odstęp
skrajnego włókna szopy od tej osi wynosi 5.5 cm ,

$$\text{to } \sigma_3 = \frac{30240 \cdot 5.5}{200} = 832 \text{ kg/cm}^2$$

Z tego przykladu widzimy jak ogromny wpływ
wywiera sila porowna na szynę, gdy precyzyjnie

na podkład jest jej wpływ nieznaczny.

Jeżeli powyższe materiały dodamy do materiałów otrzymanych w §. 26., to otrzymamy całkowite materiały:

$$\text{Podkład ielarny: } \sigma_1 + \sigma_2 = 835 + 26 = \underline{861 \text{ kg/cm}^2}$$

$$\text{" drewniany } \sigma_1 + \sigma_2 = 37 + 2 = 39 \text{ kg/cm}^2$$

$$\text{Szyba na iel. podkt. } \sigma + \sigma_3 = 1343 + 832 = 2175 \text{ kg/cm}^2$$

$$\text{" " drewn. " } \sigma + \sigma_3 = 1502 + 832 = 2334 \text{ kg/cm}^2$$

$$\text{Ciśnienie ielarnej naw. } \left\{ \begin{array}{l} p_1 + p_1 = 1.35 + 0.08 = 1.43 \text{ kg/cm}^2 \\ p_2 + p_2 = 1.26 + 0.05 = 1.31 \text{ kg/cm}^2 \end{array} \right.$$

$$\text{Ciśnienie drewn. naw. } \left\{ \begin{array}{l} p_1 + p_1 = 1.20 + 0.11 = 1.31 \text{ kg/cm}^2 \\ p_2 + p_2 = 1.11 + 0.07 = 1.18 \text{ kg/cm}^2 \end{array} \right.$$

§. 29. Dopuszczalne materiały

Szyba krzywą się przedwypiekaniem na powierzchni głowy, a skoro to krzywizna osiągnie pewną granicę, wtedy powinna być z torn unieważniona. Materiały przekroju szyby krzywej są znacznie większe niż szyby nowej, dlatego powinno być badanie wytrzymałości przeprowadzone dla nowej i dla krzywej szyby. Granicę krzywizny głowy dopuszcza się zwykle do 1 cm, dla starych szyb i kółki podrzędnych do 0.5 cm, natomiast francuska kolej Wschodnia dorwała na krzywiznie swoich silnych szyb do 2.5 cm.

Ponieważ w chwili osiągnięcia granicy kurczenia
 ryzna już zostaje uszkodzona, więc materia ryzny
 kurczącej może dojść do granicy proporcjonalności
 materiału ryzny, która dla stali elektrycznej dochodzi
 do 3000 kg/cm^2

Pakłady wykonane z ichara elektrycznego mogą być
 wykonane do 1500 kg/cm^2 , zaś drewniane do 100 kg/cm^2 .

Materiale dopuszczalne w wirówki i wylotki na-
 wierzchni stonują się do wielkości zużycia podłoża.

Skorona przyjęła podług Engersa:

dla C = 3 8 30

$y = 0.5 \quad 0.25 \quad 0.1 \text{ cm}$

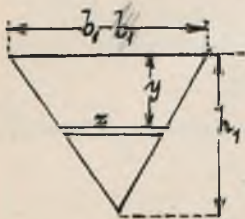
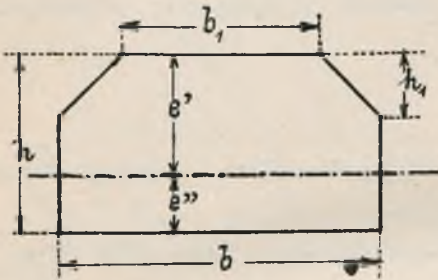
$p = 1.5 \quad 2.0 \quad 3 \text{ kg/cm}^2$

Wyrzutki powyższe należy uważać dopiero wtedy
 za stosowane, gdy się względnie wyrzutki optymalny
 działające niekorzystnie na nawierzchnię.

Jeżeli się zaś względnie tylko pionowe obciążenie
 jednym ciężarem, jak np. dla rachunków porów-
 nawnych, wtedy powyższe lity muszą być uwa-
 żane zredukowane.

Dodatek.

Moment bezwładności przekroju podkładu drewnianego:



Powierzchnia $F = b(h-h_1) + \frac{1}{2}(b+b_1)h_1 = bh - \frac{1}{2}(b-b_1)h_1.$

Moment statyczny prostokąta: $\frac{1}{2}bh^2.$

Moment statyczny trójkąta

względem górnej podstawy $\int_0^{h_1} xy dy.$

Gdy $x = h_1 - y = \frac{b-b_1}{h_1}y$, to $x = (h_1 - y) \frac{b-b_1}{h_1}.$

Zatem $\int_0^{h_1} xy dy = \frac{b-b_1}{h_1} \int_0^{h_1} (h_1 - y)y dy = \frac{b-b_1}{h_1} \left[\frac{h_1 y^2}{2} - \frac{y^3}{3} \right]_0^{h_1} = \frac{1}{6}(b-b_1)h_1^2.$

Zatem całkowity moment stat. $I = \frac{1}{2}bh^2 - \frac{1}{6}(b-b_1)h_1^2.$

zas $e' = \frac{I}{F}, \quad e'' = h - e'.$

Moment bezwładności prostokąta: $\frac{1}{3}bh^3$ względem górnej podstawy.

" " " " trójkąta $\int_0^{h_1} xy^2 dy = \frac{b-b_1}{h_1} \int_0^{h_1} (h_1 - y)y^2 dy = \frac{b-b_1}{h_1} \left[\frac{h_1 y^3}{3} - \frac{y^4}{4} \right]_0^{h_1} = \frac{1}{12}(b-b_1)h_1^3.$

Zatem całkowity moment bezwładności względem górnej podstawy: $I_{b_1} = \frac{1}{3}bh^3 - \frac{1}{12}(b-b_1)h_1^3.$

Moment bezwładności względem osi ciężkości:

$I_K = I_{b_1} - F(e'')^2$

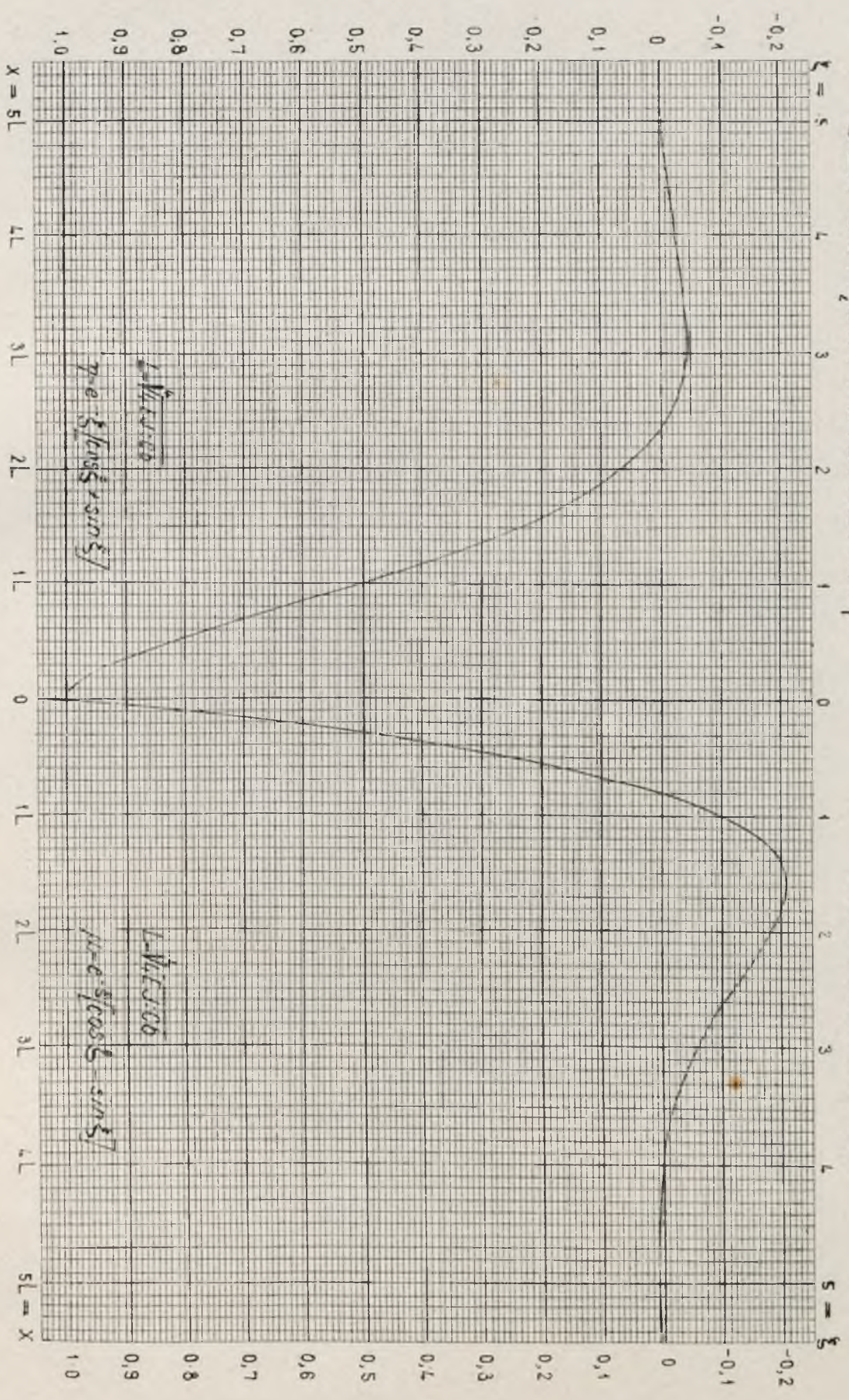
Koniec.



LINIE WPŁYWOWE

DLA UGIĘCIA I CIŚNIENIA P.

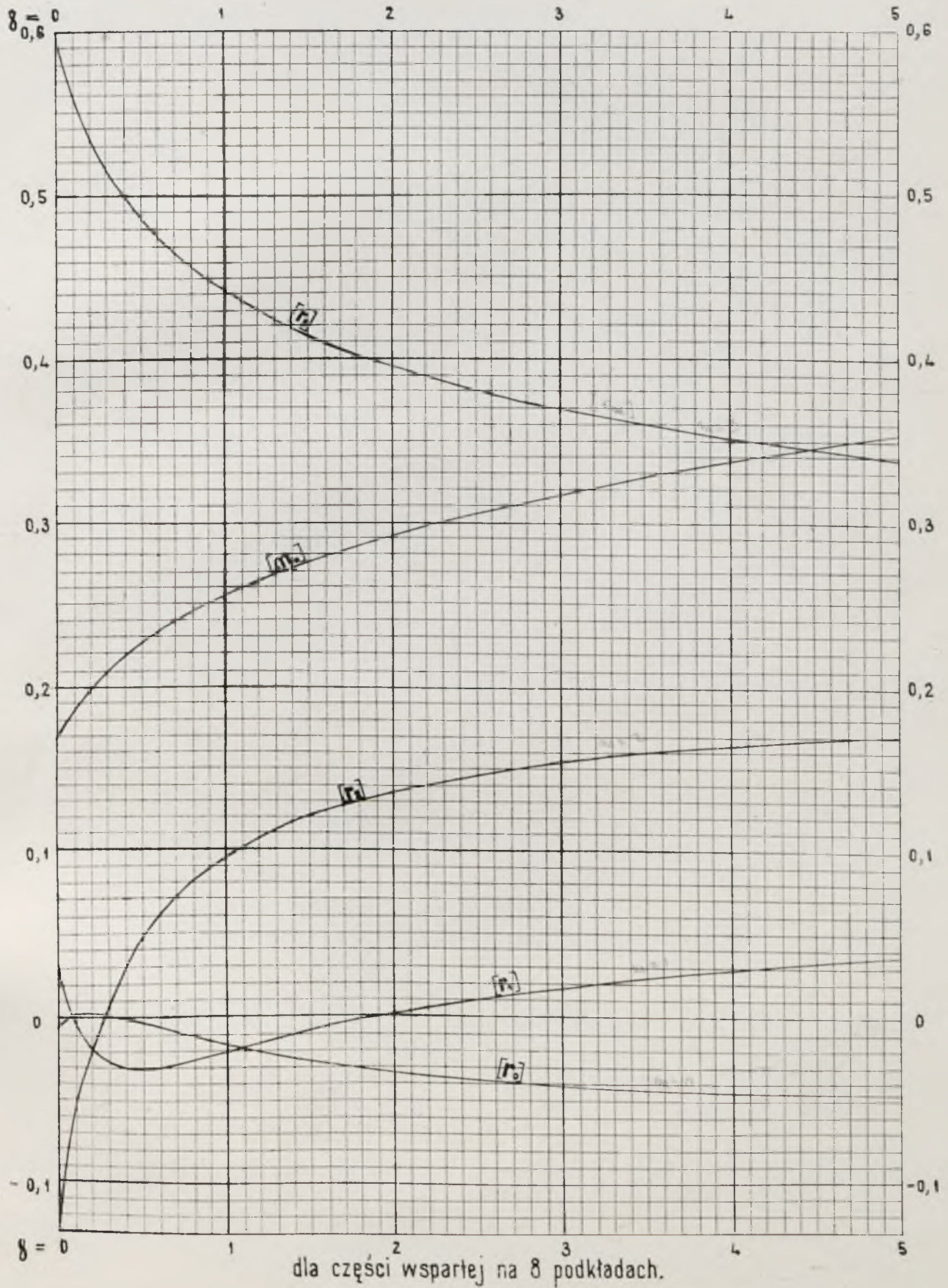
DLA MOMENTÓW.



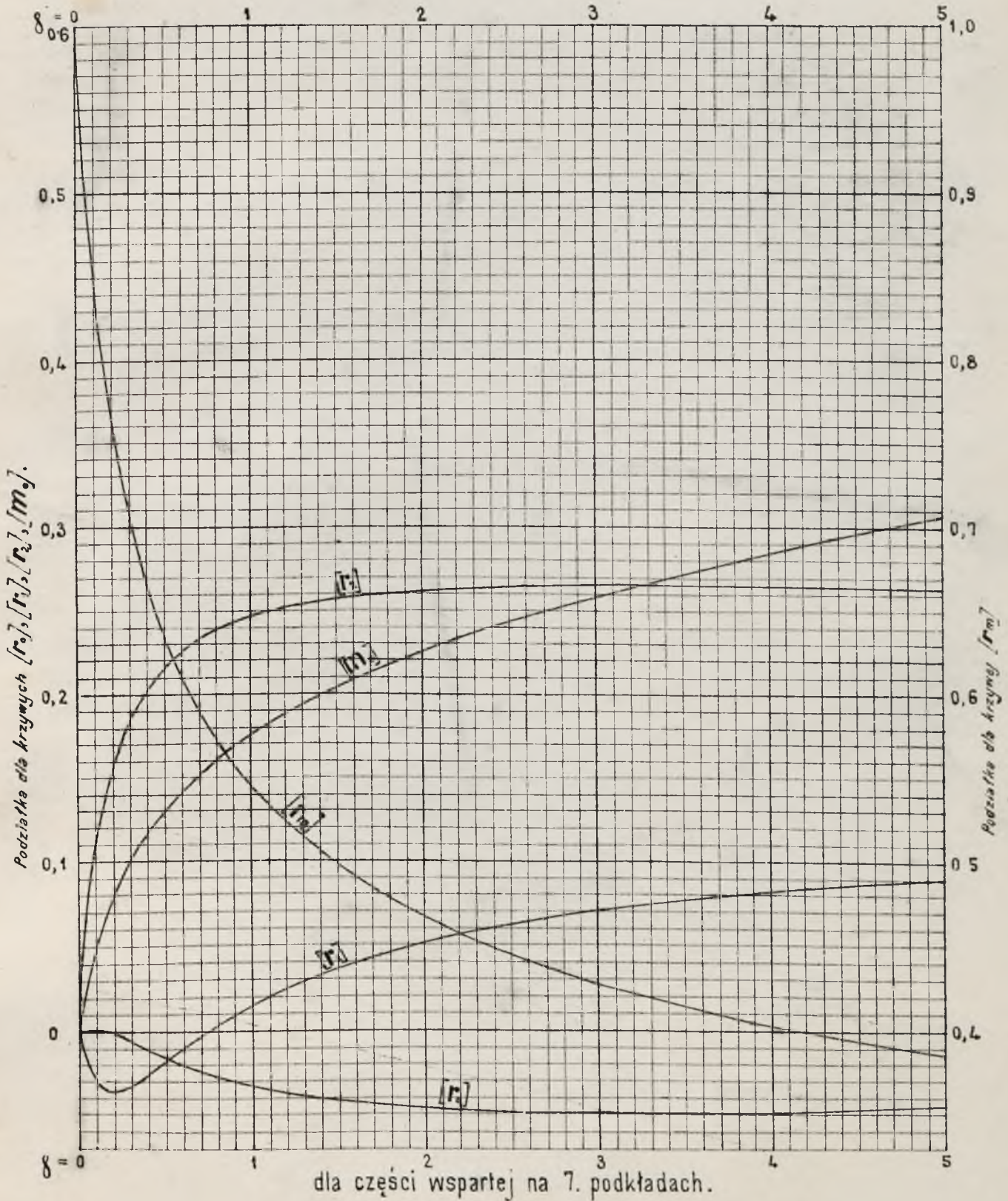
Zimmermann. Oberbau - Berechnung. S. 20. Tabelle I. III.

TEORYA NAWIERZCHNI POPRZECZNEJ.

OBRACHOWANIE NAJWIĘKSZEGO MOMENTU



TEORYA NAWIERZCHNI POPRZECZNEJ.
 OBRACHOWANIE NAJW. CIŚNIENIA I UGIĘCIA.



Obračowanie nawierzchni poprzecznej.

S	S										S
	0.8	0.9	1.0	1.1	1.2	1.3	1.4	1.5	1.6	1.7	
1.0	1.1321	1.2711	1.4753	= [1.75]	1.0
	0.0482	0.0138	0.0000	= [1.75]	
	1.2406	1.3561	1.4753	= [1.75]	
1.1	0.9936	1.1025	1.2721	1.5115	1.1
	0.0966	0.0478	0.0134	0.0000	
	1.1118	1.2393	1.3735	1.5155	
1.2	0.8838	0.9634	1.0981	1.2971	1.5695	1.2
	0.1521	0.0960	0.0483	0.0138	0.0000	
	0.9819	1.1174	1.2624	1.4141	1.5695	
1.3	0.7997	0.8521	0.9533	1.1122	1.3380	1.6399	1.3
	0.2090	0.1513	0.0971	0.0496	0.0143	0.0000	
	0.8509	0.9906	1.1416	1.3020	1.4692	1.6399	
1.4	0.7378	0.7663	0.8369	0.9581	1.1387	1.3879	1.7147	.	.	.	1.4
	0.2630	0.2079	0.1529	0.0994	0.0512	0.0148	0.0000	.	.	.	
	0.7206	0.8606	1.0135	1.1777	1.3510	1.5310	1.7147	.	.	.	
1.5	0.6946	0.7029	0.7470	0.8344	0.9732	1.1721	1.4404	1.7871	.	.	1.5
	0.3107	0.2612	0.2098	0.1562	0.1024	0.0530	0.0154	0.0000	.	.	
	0.5938	0.7308	0.8816	1.0451	1.2195	1.4031	1.5933	1.7871	.	.	
1.6	0.6660	0.6582	0.6803	0.7387	0.8407	0.9941	1.2078	1.4908	1.8524	.	1.6
	0.3502	0.3083	0.2632	0.2137	0.1602	0.1056	0.0549	0.0160	0.0000	.	
	0.4735	0.6047	0.7501	0.9090	1.0802	1.2624	1.4535	1.6512	1.8524	.	
1.7	0.6485	0.6284	0.6331	0.6678	0.7386	0.8525	1.0175	1.2423	1.5360	1.9078	1.7
	0.3809	0.3473	0.3102	0.2675	0.2186	0.1646	0.1087	0.0565	0.0165	0.0000	
	0.3622	0.4854	0.6229	0.7742	0.9387	1.1153	1.3026	1.4988	1.7015	1.9078	
1.8	0.6388	0.6099	0.6014	0.6174	0.6630	0.7439	0.8672	1.0408	1.2733	1.5740	1.8
	0.4032	0.3777	0.3492	0.3148	0.2731	0.2239	0.1688	0.1115	0.0580	0.0169	
	0.2617	0.3755	0.5032	0.6448	0.7998	0.9677	1.1475	1.3379	1.5371	1.7429	
1.9	0.6340	0.5992	0.5813	0.5832	0.6091	0.6636	0.7524	0.8827	1.0621	1.2995	1.9
	0.4179	0.4000	0.3799	0.3542	0.3210	0.2792	0.2290	0.1727	0.1139	0.0591	
	0.1732	0.2766	0.3934	0.5238	0.6676	0.8245	0.9941	1.1754	1.3673	1.5679	
2.0	0.6322	0.5938	0.5694	0.5613	0.5723	0.6062	0.6677	0.7624	0.8974	1.0805	2.0
	0.4265	0.4152	0.4026	0.3854	0.3610	0.3277	0.2850	0.2337	0.1759	0.1159	
	0.0968	0.1895	0.2949	0.4132	0.5446	0.6892	0.8467	1.0167	1.1983	1.3904	

s	S										s
	0.8	0.9	1.0	1.1	1.2	1.3	1.4	1.5	1.6	1.7	
2.1	0.6317	0.5915	0.5631	0.5480	0.5484	0.5670	0.6072	0.6738	0.7726	0.9105	2.1
	0.4303	0.4245	0.4184	0.4088	0.3928	0.3683	0.3342	0.2903	0.2376	0.1785	
	0.0323	0.1143	0.2081	0.3141	0.4327	0.5641	0.7085	0.8656	1.0351	1.2162	
2.2	0.6317	0.5908	0.5601	0.5407	0.5338	0.5412	0.5656	0.6105	0.6807	0.7821	2.2
	0.4305	0.4291	0.4285	0.4254	0.4169	0.4008	0.3755	0.3402	0.2949	0.2408	
	-0.0210	0.0506	0.1330	0.2268	0.3325	0.4506	0.5813	0.7249	0.8810	1.0495	
2.3	0.6315	0.5907	0.5591	0.5371	0.5255	0.5252	0.5381	0.5669	0.6152	0.6878	2.3
	0.4285	0.4303	0.4340	0.4362	0.4342	0.4257	0.4087	0.3821	0.3454	0.2986	
	-0.0642	-0.0024	0.0691	0.1512	0.2443	0.3492	0.4663	0.5959	0.7381	0.8930	
2.4	0.6308	0.5906	0.5589	0.5357	0.5212	0.5159	0.5209	0.5380	0.5699	0.6204	2.4
	0.4249	0.4292	0.4361	0.4426	0.4459	0.4437	0.4343	0.4160	0.3879	0.3496	
	-0.0981	-0.0456	0.0157	0.0866	0.1678	0.2599	0.3635	0.4793	0.6075	0.7484	
2.5	.	0.5902	0.5589	0.5353	0.5194	0.5110	0.5108	0.5198	0.5398	0.5738	2.5
	.	0.4265	0.4358	0.4455	0.4538	0.4561	0.4530	0.4422	0.4223	0.3927	
	.	-0.0800	-0.0281	0.0323	0.1022	0.1822	0.2739	0.3754	0.4897	0.6166	
2.6	.	.	0.5587	0.5353	0.5188	0.5088	0.5053	0.5089	0.5207	0.5428	2.6
	.	.	0.4339	0.4459	0.4566	0.4639	0.4660	0.4615	0.4490	0.4276	
	.	.	-0.0634	-0.0126	0.0468	0.1154	0.1941	0.2837	0.3847	0.4977	
2.7	.	.	0.5580	0.5352	0.5187	0.5080	0.5027	0.5029	0.5093	0.5230	2.7
	.	.	0.4311	0.4447	0.4576	0.4681	0.4744	0.4751	0.4689	0.4548	
	.	.	0.0911	-0.0490	0.0007	0.0589	0.1263	0.2037	0.2920	0.3918	
2.8	.	.	.	0.5348	0.5187	0.5079	0.5018	0.5001	0.5029	0.5111	2.8
	.	.	.	0.4424	0.4569	0.4696	0.4791	0.4839	0.4830	0.4751	
	.	.	.	-0.0778	-0.0369	0.0116	0.0686	0.1348	0.2111	0.2982	
2.9	0.5184	0.5079	0.5016	0.4989	0.4998	0.5045	2.9
	0.4550	0.4693	0.4810	0.4890	0.4922	0.4895	
	-0.0670	-0.0272	0.0202	0.0760	0.1412	0.2165	
3.0	0.5077	0.5016	0.4987	0.4986	0.5012	3.0
	0.4678	0.4810	0.4913	0.4976	0.4991	
	-0.0584	-0.0197	0.0267	0.0816	0.1458	

Tabl. VI: Zimmermann: Oberbauberechnung.

λ	[μ_s]			[μ_s]			[μ_s]		
	$\rho=0.5$	0.6	0.7	0.5	0.6	0.7	0.5	0.6	0.7
1.0	1.0118	1.0121	1.0490	0.2424	0.1642	0.0995	0.9452	1.0324	1.1319
1.1	0.9361	0.9199	0.9359	0.3049	0.2253	0.1562	0.7947	0.8824	0.9937
1.2	0.8837	0.8533	0.8499	0.3611	0.2820	0.2144	0.6512	0.7487	0.8570
1.3	0.8495	0.8092	0.7874	0.4079	0.3353	0.2700	0.5162	0.6124	0.7245
1.4	0.8288	0.7765	0.7436	0.4459	0.3787	0.3191	0.3907	0.4844	0.5947
1.5	0.8179	0.7583	0.7152	0.4731	0.4127	0.3600	0.2738	0.3645	0.4714
1.6	0.8129	0.7486	0.6980	0.4906	0.4368	0.3917	0.1702	0.2559	0.3571
1.7	0.8113	0.7443	0.6886	0.5001	0.4526	0.4146	0.0802	0.1593	0.2536
1.8	0.8112	0.7431	0.6844	0.5031	0.4607	0.4293	0.0038	0.0078	0.1620
1.9	0.8109	0.7427	0.6822	0.5012	0.4635	0.4384	-0.0590	0.0057	0.0825
2.0	0.8105	0.7429	0.6827	0.4962	0.4619	0.4404	-0.1091	-0.0521	0.0165
2.1	0.8085	0.7421	0.6824	0.4895	0.4575	0.4398	-0.1481	-0.0983	-0.0384
2.2	0.8057	0.7407	0.6820	0.4821	0.4523	0.4367	-0.1771	-0.1342	-0.0825
2.3	0.8023	0.7386	0.6809	0.4747	0.4460	0.4323	-0.1972	-0.1608	-0.1166
2.4	0.8009	0.7355	0.6793	0.4676	0.4397	0.4270	-0.2087	-0.1770	-0.1417